

## Masterarbeit

# Schematische 2D Visualisierung von RNA-Protein Interaktionen

Niklas Teichmann

28. April 2018

**Zusammenfassung:** Die Visualisierung von Tensorfeldern ist trotz vielen Jahrzehnten aktiver Forschung noch immer ein aktives Thema. Komplexe Strukturen innerhalb von Tensorfeldern stellen hohe Anforderungen an Visualisierungssoftware, um die Interpretation durch Benutzer zu erleichtern. Innerhalb dieser Arbeit wurde eine Erweiterung für die Visualisierungssoftware ‘FAnToM’ entwickelt, die Techniken aus dem Direct Volume Rendering und dem Continuous Scatterplotting verwendet, um Invarianten von symmetrischen Tensoren 2. Grades und ihre Verteilung innerhalb eines Datensatzes darzustellen. Dabei wurde besonderer Wert auf Interaktivität gelegt, um Nutzern die explorative Analyse der Daten zu ermöglichen.

Hiermit erkläre ich, die vorliegende wissenschaftliche Arbeit selbständig und ohne unzulässige fremde Hilfe angefertigt zu haben. Ich habe keine anderen als die angeführten Quellen und Hilfsmittel benutzt und sämtliche Textstellen, die wörtlich oder sinngemäß aus veröffentlichten oder unveröffentlichten Schriften entnommen wurden, und alle Angaben, die auf mündlichen Auskünften beruhen, als solche kenntlich gemacht. Ebenfalls sind alle von anderen Personen bereitgestellten Materialien oder erbrachten Dienstleistungen als solche gekennzeichnet.

Leipzig, d. \_\_\_\_\_  
Ort, Datum

Matrikelnummer: 2878372

Unterschrift

# Inhaltsverzeichnis

<b>1 Einleitung</b>	<b>1</b>
<b>2 Verwandte Arbeiten</b>	<b>2</b>
<b>3 Grundlagen</b>	<b>3</b>
3.1 Mathematische Grundlagen . . . . .	3
3.1.1 Urbild und Bild einer Funktion . . . . .	3
3.1.2 Einschränkung einer Funktion . . . . .	4
3.1.3 Dirac Delta . . . . .	4
3.1.4 Volumen einer Teilmenge von $\mathbb{R}^n$ . . . . .	4
3.1.5 Jacobi Matrix . . . . .	5
3.1.6 Lineare Abbildungen . . . . .	5
3.1.7 Dualraum . . . . .	6
3.1.8 Multilineare Funktionen . . . . .	6
3.1.9 Tensor . . . . .	6
3.1.10 Rang einer Matrix . . . . .	7
3.1.11 Spur einer Matrix . . . . .	7
3.1.12 Norm einer Matrix . . . . .	7
3.1.13 Deviator einer Matrix . . . . .	8
3.1.14 Fraktionale Anisotropie einer Matrix . . . . .	8
3.1.15 Modus einer Matrix . . . . .	9
3.1.16 Gradient . . . . .	10
3.1.17 Orthogonalität von Matrizen . . . . .	10
3.1.18 Matrixinvarianten . . . . .	10
3.1.19 Invariantensätze . . . . .	11
3.2 Mechanische Grundlagen . . . . .	14
3.2.1 Physikalisches Feld . . . . .	14
3.2.2 Mechanische Spannung . . . . .	15
3.2.3 Mechanische Verformung . . . . .	15
<b>4 Verwendete Verfahren und Technologien</b>	<b>16</b>
4.1 FAnToM . . . . .	16
4.2 OpenGL . . . . .	16
4.3 Qt . . . . .	18
4.4 Direct Volume Rendering . . . . .	18
4.4.1 Raycasting . . . . .	19
4.5 Contiuous Scatterplotting . . . . .	21
4.5.1 Scatterplotting . . . . .	21
4.5.2 Erklärung des Continuous Scatterplottings . . . . .	22

<b>5 Umsetzung</b>	<b>27</b>
5.1 Datenvorbereitung . . . . .	28
5.1.1 Die Vorbereitungssession . . . . .	28
5.1.2 Die Visualisierungssession . . . . .	29
5.2 Voxelisierung . . . . .	30
5.3 Umsetzung des Continuous Scatterplotting . . . . .	33
5.4 Berechnung der maximalen Dichte . . . . .	33
5.5 Umsetzung des Raycastings . . . . .	34
5.6 Die Interaktionsflächen . . . . .	36
5.7 Weitere Interaktionen . . . . .	38
5.8 Optionen des Algorithmus . . . . .	39
5.8.1 Gemeinsame Optionen . . . . .	39
5.8.2 Optionen des Objektrenderings . . . . .	40
5.9 Optionen des Invariantenraumrenderings . . . . .	40
5.10 Das Intervallfenster . . . . .	41
<b>6 Ergebnisse</b>	<b>41</b>
6.1 Single Point Load . . . . .	42
6.2 Metallscheibe . . . . .	44
6.2.1 Spannung . . . . .	44
6.2.2 Verformung . . . . .	45
6.3 Bremshebel . . . . .	48
6.3.1 K-Invarianten . . . . .	48
6.3.2 R-Invarianten . . . . .	49
6.4 Metallplatte . . . . .	52
6.4.1 I-Invarianten . . . . .	52
6.4.2 J-Invarianten . . . . .	53
<b>7 Ausblick</b>	<b>53</b>
<b>Abschlussarbeiten</b>	I
<b>Bücher</b>	I
<b>Artikel</b>	I
<b>Internetressourcen</b>	II

## 1 Einleitung

Tensorfelder sind eine sowohl in der Forschung als auch in der Praxis häufig vorkommende Art von Datensätzen. Beispiele dafür sind die Diffusions-Tensor-Bildgebung[4], welche die Diffusion von Wasser in Gewebe wie z.B. dem Hirn untersucht, oder Verformungs-[13, S. 122] und Spannungstensoren[13, S. 154] in der Mechanik. Ein häufig gewählter Ansatz, um die Interpretation von Tensordaten zu erleichtern, ist die Tensorfeldvisualisierung, ein Teilgebiet der wissenschaftlichen Visualisierung, das sich mit der Erzeugung von für Menschen verständlichen visuellen Repräsentationen von Tensorfeldern beschäftigt. Auch diese muss sich jedoch den genannten Herausforderungen stellen. Dabei treten jedoch eine Reihe von Problem auf, von denen einige im Folgenden genannt werden[14][12]:

**Menge an Daten pro Tensor** Ein einzelner Tensor kann, abhängig von Grad und Dimension, beliebig viele Datenwerte umfassen. Aber selbst ein Tensor 2. Grades und 3. Dimension besteht bereits aus 9 Werten, für die eine passende Darstellung gefunden werden muss.

**Menge an Daten pro Datensatz** Häufig enthalten Datensätze Tausende oder Millionen von Tensoren, was gut skalierende Werzeuge zur Analyse notwendig macht. Zudem bestehen relevante Merkmale der Datensätze oft nur aus wenigen Datenpunkten, weshalb effektives Filtern wichtig wird.

**Fehlende Intuition** Tensoren beschreiben im Allgemeinen lineare Abhängigkeiten zwischen Skalaren, Vektoren und anderen Tensoren. Während bei niedrigen Rängen (Skalare/Vektoren) noch intuitive Interpretation existieren (Zahlenwert/Punkt im dreidimensionalen Raum), fällt es Menschen erheblich schwieriger, Matrizen oder Tensoren höheren Grades zu interpretieren. Die Repräsentation eines Tensors muss daher sehr gut durchdacht sein, und relevante Eigenschaften interpretierbar darstellen.

**Domänenspezifische Informationen** Abhängig von der jeweiligen Domäne können unterschiedliche Informationen über die vorliegenden Tensoren von Interesse sein. Zum Beispiel kann isotropen oder degenerierten Punkten (Punkte, in denen die Eigenvektoren nicht eindeutig definiert sind) in manchen Anwendungsfällen besondere Bedeutung zugemessen werden, während sie in anderen Kontexten nur Punkte hoher Symmetrie ohne besondere Bedeutung sind [14, S. 4]. Eine Anwendung zu entwickeln, die über Domänen hinweg verwendbar ist, ist daher schwer.

Im Zuge der vorliegenden Arbeit wurde ein neues Verfahren zur Visualisierung von symmetrischen Tensoren 2. Grades im dreidimensionalen Raum entwickelt und als Erweiterung der Visualisierungssoftware ‘FAnTom’ implementiert. Im Speziellen wurden Invariantenfelder aus den Matrixdarstellungen der Tensoren berechnet und mithilfe von Techniken

aus dem Continuous Scatterplotting und dem Direct Volume Rendering dargestellt. Durch Mausinteraktionen ist es möglich, Bereiche von Invarianten auszuwählen und im ursprünglichen Feld darzustellen. Das Ziel der Anwendung ist es, Kontinuumsmechanische Untersuchungen von Materialien und Werkstücken zu erleichtern.

Der Rest dieser Arbeit ist wie folgt gegliedert: Zunächst werden im Kapitel [2 Verwandte Arbeiten](#) bekannte Verfahren zur Tensorfeldvisualisierung mit Vor- und Nachteilen erläutert. Danach werden im Kapitel [3 Grundlagen](#) Definitionen und Grundlagen aus der Mathematik und Kontinuumsmechanik vorgestellt, die in dieser Arbeit verwendet wurden. Als nächstes werden in [4 Verwendete Verfahren und Technologien](#) Programmschnittstellen und Visualisierungstechniken erläutert, die innerhalb dieser Arbeit verwendet wurden. Insbesondere wird dort auch auf FAnToM als Softwaregrundlage eingegangen. Kapitel [5 Umsetzung](#) beschreibt die konkrete Umsetzung der FAnToM-Erweiterung mit allen implementierten Funktionen. Nachfolgend werden in Kapitel [6 Ergebnisse](#) wird die entwickelte Erweiterung exemplarisch auf einige Datensätze angewendet, und die Ergebnisse diskutiert. Zum Abschluss werden in Kapitel [7 Ausblick](#) im Verlauf dieser Arbeit neu aufgetretene Problemstellungen sowie weitere Verbesserungsmöglichkeiten erörtert.

## 2 Verwandte Arbeiten

Es existiert bereits eine große Anzahl von Verfahren, die Visualisierungen von Tensorfeldern erzeugen. Nachfolgend werden, ohne Anspruch auf Vollständigkeit, einige der wichtigsten genannt und kurz beschrieben.

Eine relative einfache Darstellung eines Vektorfelds besteht darin, die einzelnen Komponenten eines Tensor 2. Grades als Skalarfelder aufzufassen und als Grauwertbild zu zeichnen. Dabei ist der Grauwert an einem Datenpunkt abhängig vom Verhältniss des Wertes der Komponente des Vektors zu dem höchsten Wert dieser Komponente im Datensatz. Die früheste gefundene Erwähnung dieses Verfahrens ist in einem Paper von Kindlmann und Weinstein aus dem Jahre 1999 [17], in dem es jedoch als weder neu noch besonders intuitiv beschrieben wird.

Die wohl verbreiteteste Art von Tensorvisualisierungen sind die glyphenbasierten Verfahren. Diese Verfahren beschränkt sich auf Tensoren zweiten Grades im dreidimensionalen Raum, die als Matrizen dargestellt werden können und einen großen Teil der Daten aus Mechanik und Medizin ausmachen. Eine Glyphe ist hierbei ein kleines Bild eines grafischen Primitivs, z.B. eines Ellipsoiden, Kuboiden oder Superquadrics[16], das einen Tensor darstellt. Die Form der Primitive ist dabei abhängig von den Eigenwerten des jeweiligen, als Matrix dargestellten Tensors an dieser Stelle. Indem an jedem Datenpunkt eine solche Glyphe gezeichnet wird, erhält der Benutzer ein Bild von der Verteilung und Struktur der Tensoren im Datensatz. Glyphenbasierte Verfahren sind besonders

in der Medizin beliebt, da sie leicht Rückschlüsse auf die Richtung von Nerven- und Muskelfasern zulassen.

Hyperstreamlines[8] bilden ein Analogon zu den Stromlinien bei Vektorfeldern. Als Eingabedaten sind nur Felder von reellen, symmetrischen, dreidimensionalen Tensoren 2. Grades mit nichtnegativen Eigenwerten zugelassen, da so sichergestellt wird, dass die Eigenwerte ganzzahlig und größer 0 sind sowie die Eigenvektoren paarweise orthogonal zueinander. Das Verfahren zeichnet ausgehend von festgelegten Punkten Schläuche durch das Vektorfeld. Die Mittellinien dieser Schläuche entsprechen dabei Stromlinien, deren Richtung vom Eigenvektor mit dem höchsten Eigenwert abhängt. Der Durchschnitt durch den Schlauch, orthogonal zur Mitellinie ist stets eine Ellipse, deren Halbachsen den zwei kleineren Eigenwerten entsprechen. Da so aber Informationen über den Wert des größten Eigenwertes verloren geht, werden einzelne Stücken des Schlauchs abhängig von diesem Wert eingefärbt.

Weiterhin muss die Diplomarbeit von Clemens Fritzsch, ‘Visuelle Analyse kontinuumsmechanischer Simulationen durch kontinuierliche Streudiagramme’[12], erwähnt werden, auf der die vorliegende Arbeit direkt aufbaut. Fritzsch verwendet Methoden des Continuous Scatterplotting, um Invarianten von zweidimensionalen, symmetrischen Tensoren 2. Grades darzustellen. Dabei beschränkt er sich jedoch auf zwei der drei Invarianten in jedem Invariantensatz, um einen zweidimensionalen Scatterplot zu erzeugen. Die vorliegende Arbeit erweitert diesen Ansatz auf vollständige Invariantensätze indem eine dreidimensionale Darstellung erzeugt wird.

## 3 Grundlagen

### 3.1 Mathematische Grundlagen

In diesem Teil der Arbeit werden mathematische Grundlagen zu Tensoren, Feldern und Invarianten erläutert. Insbesondere für die Definition von Tensoren sind Vorkenntnisse nötig, die ebenfalls erklärt werden.

Eine erheblicher Teil der verwendeten Formeln und Definitionen stammen aus dem Buch ‘Introduction to vectors and tensors’ von R. M. Bowen und C. C. Wang [5].

#### 3.1.1 Urbild und Bild einer Funktion

Zu jeder Funktion  $f : A \rightarrow B$ , die Objekten aus der Menge  $A$  Objekte aus  $B$  zuordnet, lässt sich das Bild einer Menge  $A' \subset A$  als

$$f(A') : \{b \in B | \exists a \in A' : f(a) = b\} \quad (1)$$

und das Urbild einer Menge  $B' \subset B$  als

$$f^{-1}(B') : \{a \in A \mid \exists b \in B' : f(a) = b\} \quad (2)$$

bestimmen.  $f(A)$  wird hierbei die Bildfunktion,  $f^{-1}(B)$  die Urbildfunktion genannt.

### 3.1.2 Einschränkung einer Funktion

Gegeben sei eine Funktion  $f : A \rightarrow B$ . Dann ist  $f|_{A'} : A' \rightarrow B$ , die Einschränkung von  $f$  auf die Menge  $A' \subset A$ , definiert als

$$f|_{A'}(a) = f(a) \text{ für alle } a \in A' \quad (3)$$

und auf allen  $a \in A, a \notin A'$  nicht definiert.

### 3.1.3 Dirac Delta

Das Dirac Delta (auch Delta Distribution genannt) ist eine Funktion, die folgende Eigenschaften erfüllt:

$$\delta(x) = \begin{cases} +\infty, & \text{wenn } x = 0 \\ 0, & \text{sonst} \end{cases} \quad (4)$$

$$\int_{-\infty}^{+\infty} \delta(x) dx = 1 \quad (5)$$

Da diese beiden Eigenschaften für die vorliegende Arbeit ausreichen wird auf eine genaue Definition von  $\delta$  verzichtet. Diese kann jedoch in [20, S. 100 ff.] nachgelesen werden.

### 3.1.4 Volumen einer Teilmenge von $\mathbb{R}^n$

Das  $n$ -dimensionale Volumen einer Menge  $Vol(A), A \subset \mathbb{R}^n$  wird über das Lebesgue-Stieltjes Maß definiert[19]. Intuitiv entspricht es in  $\mathbb{R}$  der Länge, in  $\mathbb{R}^2$  dem Flächeninhalt und in  $\mathbb{R}^3$  dem Volumen.

Falls für eine Menge  $A$  gilt  $Vol(A) = 0$ , so bezeichnet man diese als Nullmenge.

### 3.1.5 Jacobi Matrix

Die Jacobi Matrix  $J_f$  einer differenzierbaren Abbildung  $f : \mathbb{R}^n \rightarrow \mathbb{R}^m$  ist eine  $m \times n$  Matrix, deren Komponenten die partiellen ersten Ableitungen von  $f$  sind. Formal geschrieben gilt also für die Koordinaten des Urbilds  $x_1, \dots, x_n$  und Abbildungen  $f_1, \dots, f_n$  der einzelnen Komponenten

$$J_f(a) := \begin{pmatrix} \frac{\partial f_1}{\partial x_1}(a) & \dots & \frac{\partial f_1}{\partial x_n}(a) \\ \vdots & \ddots & \vdots \\ \frac{\partial f_m}{\partial x_1}(a) & \dots & \frac{\partial f_m}{\partial x_n}(a) \end{pmatrix} \quad (6)$$

Sie entspricht damit der ersten Ableitung in der mehrdimensionalen Analysis. Die Determinante der Jacobi-Matrix  $\det(J_f)$  wird auch als Funktionaldeterminante bezeichnet, und beschreibt einige Eigenschaften der Funktion  $f$ . Die für diese Arbeit wichtigste Rolle spielt der absolute Wert  $|\det(J_f)|$  an einem Punkt  $p$ , die die Expansion bzw. das Schrumpfen der Funktion in der Nähe von  $p$  beschreibt. Für eine lineare Funktion  $f : \mathbb{R}^n \rightarrow \mathbb{R}^n$ , deren Funktionaldeterminante in jedem Punkt  $p_n \in \mathbb{R}$  gleich ist, bedeutet das mit dem  $n$ -dimensionalen euklidischen Abstand  $\|p_1, p_2\|_n$

$$\|f(p_1), f(p_2)\|_n = \det(J_f) \cdot \|p_1, p_2\|_n \quad (7)$$

Indem man das Lebesgue-Stieltjes Maß in  $\mathbb{R}^n$  mittels des euklidischen Abstands definiert, lassen sich so auch Volumenänderungen ausdrücken.

### 3.1.6 Lineare Abbildungen

Seien  $V, U$  zwei Vektorräume über demselben Körper  $K$ . Eine lineare Abbildung  $\varphi : V \rightarrow U$  ist eine Funktion, so dass für alle  $\lambda \in K$ ,  $v \in V$  und  $u \in U$  gilt [5, S. 85]:

$$\begin{aligned} \varphi(u + v) &= \varphi(u) + \varphi(v) \\ \varphi(\lambda v) &= \lambda \cdot \varphi(v) \end{aligned} \quad (8)$$

also  $\varphi$  ein homogener Homomorphismus ist.

Die Menge aller linearen Abbildungen von  $V$  nach  $U$  wird mit  $L(V, U)$  bezeichnet. [5, S. 97].

### 3.1.7 Dualraum

Sei  $V$  ein Vektorraum und  $K$  sein zugrundeliegender Körper. Dann bildet die Menge der linearen Abbildungen der Form  $\varphi : V \rightarrow K$  wiederum einen Vektorraum  $V^*$ . Dieser wird **Dualraum** genannt [5, S. 203].

Vektoren aus  $V$  werden als **kovariant** bezeichnet, Vektoren aus  $V^*$  als **kontravariant** [5, S. 205].

### 3.1.8 Multilineare Funktionen

Multilineare Funktionen über Vektorräumen sind Funktionen der Form  $\varphi : V_1 \times \dots \times V_n \rightarrow K$ , wobei jedes  $V_i$  ein Vektorraum über  $K$  ist, und zusätzlich

$$\varphi(\lambda \cdot v_1 + \mu \cdot v'_1, \dots, v_n) = \lambda \cdot \varphi(v_1, \dots, v_n) + \mu \cdot \varphi(v'_1, v_2, \dots, v_n) \quad (9)$$

mit  $\lambda, \mu \in K$ ,  $v_i, v'_i \in V_i$  gilt (für jede weitere Variable analog). Intuitiv bedeutet das, dass  $\varphi$  linear in jeder Variable ist [5, S. 204, 218].

### 3.1.9 Tensor

Multilineare Funktionen der Form  $T : V^* \times \dots \times V^* \times V \times \dots \times V \rightarrow K$ , wobei  $V$  ein Vektorraum über  $K$  und  $V^*$  sein Dualraum ist, werden als Tensoren bezeichnet [5, S. 218]. Der Grad des Tensors ist definiert als die Anzahl an Variablen der Funktion. Die Tensoren über  $V$  bildet wiederum einen Vektorraum [5, S. 220]. Durch diese Definition ist ein Tensor immer invariant zur Basis des Vektorraums seiner Variablen. Egal in welche Basis er umgerechnet wird, er drückt steht dasselbe aus.

In der vorliegenden Arbeit werden ausschließlich Tensoren 2. Grades verwendet, die in kartesischen, dreidimensionalen Koordinatensystemen erzeugt wurden. Dabei ist zu beachten, dass in kartesischen Koordinaten die Basis eines Vektorraumes  $V$  und seines Dualraumes  $V^*$  die gleiche Darstellung hat, also  $V$  und  $V^*$  austauschbar sind. Wenn in einen Tensor 2. Grades  $T$  die Basisvektoren  $e_{1,\dots,d}$  des zugrundeliegenden Vektorraumes  $V$  bzw  $V^*$  der Dimension  $d$  in jeder möglichen Kombination eingesetzt werden, ergeben sich für  $1 \leq i, j \leq d$  folgende Komponenten:

$$c_{i,j} = \sum_{i=1}^d \sum_{j=1}^d T(e_i, e_j), \quad (10)$$

Diese basisabhängige Darstellung des Tensors bildet eine  $d \times d$  Matrix. Alle in der vorliegenden Arbeit verwendeten Tensoren liegen in dieser Form vor. Da durch das Matrix-Vektor-Produkt einer Matrix  $m$  mit einem Vektor  $v$

$$m \cdot v = u \quad (11)$$

eine Abbildung auf einen Vektor  $u$  desselben Vektorraumes wie  $v$  ausgedrückt werden kann, lassen sich mithilfe von Tensoren Abbildungen auf Vektorräumen unabhängig von der Basis des Raumes formulieren.

### 3.1.10 Rang einer Matrix

Der Zeilenraum einer Matrix ist der Raum, der aus Linearkombinationen ihrer Zeilenvektoren aufgespannt wird. Die Dimension des Zeilenraumes ist gleich der Anzahl der linear unabhängigen Zeilenvektoren, und wird als Zeilenrang der Matrix bezeichnet. Analog lässt sich der Spaltenrang einer Matrix definieren. Es lässt sich zeigen, dass Zeilen- und Spaltenrang einer Matrix immer gleich sind und deshalb kurz als Rang  $\text{rang}(M)$  der Matrix  $M$  bezeichnet werden.

### 3.1.11 Spur einer Matrix

Die Spur ('trace') einer  $n \times n$ -Matrix  $A$  mit Komponenten  $a_{ij}$  mit  $1 \leq i, j \leq n$  ist definiert als

$$\text{tr}(A) = \sum_{i=1}^n a_{ii} \quad (12)$$

also die Summe aller Elemente in der Hauptdiagonale. Eine wichtige Eigenschaft der Spur ist, dass bei der Überführung einer Matrix in eine andere Basis gleich bleibt (siehe auch [3.1.18](#)).

### 3.1.12 Norm einer Matrix

Eine Norm ist eine Abbildung  $f : V \rightarrow \mathbb{R}$  eines Vektorraumes  $V$  über dem Körper  $K$  auf die reellen Zahlen, die folgende Bedingungen erfüllt:

1.  $f(kv) = |k|f(v)$  (Absolute Homogenität)
2.  $f(u + v) \leq f(u) + f(v)$  (Erfüllung der Dreiecksungleichung)
3.  $f(v) = 0 \iff v = 0$  ist der Nullvektor (Definitheit)

mit  $k \in K$ ,  $u, v \in V$ .

Eine in kartesischen Koordinaten häufig eingesetzte Norm ist die euklidische Norm. Diese ist auf dem Vektorraum aller  $m \times n$  Matrizen  $K^{m \times n}$  mit  $A \in K^{m \times n}$  definiert als

$$\text{norm}(A) = \sqrt{\text{tr}(AA^T)} \quad (13)$$

Die euklidische Norm wird auch als ‘Frobenius Norm’ bezeichnet.

### 3.1.13 Deviator einer Matrix

Eine Matrix  $A$  kann in ihren isotropen Anteil  $\bar{A}$  und ihren anisotropen Anteil  $\tilde{A}$  wie folgt zerlegt werden:

$$\tilde{A} = A - \bar{A} \quad (14)$$

$\tilde{A}$  wird auch als Deviator von  $A$  bezeichnet. Bei einer  $3 \times 3$  Matrix ergibt sich  $\bar{A}$  als

$$\bar{A} = \frac{1}{3} \text{tr}(A) I \quad (15)$$

wobei  $I$  die Matrixdarstellung des Einheitstensor ist.

### 3.1.14 Fraktionale Anisotropie einer Matrix

Die fraktionale Anisotropie  $FA(M)$  einer Matrix, mit  $\bar{\lambda}$  als Mittelwert der Eigenwerte, ist definiert als

$$FA(M) = \sqrt{\frac{3((\lambda_1 - \bar{\lambda})^2 + (\lambda_2 - \bar{\lambda})^2 + (\lambda_3 - \bar{\lambda})^2)}{2(\lambda_1^2 + \lambda_2^2 + \lambda_3^2)}} \quad (16)$$

sie entspricht also der Standardabweichung der Eigenwerte, dividiert durch den Mittelwert ihrer Quadrate. Dadurch wird die Standardabweichung auf das Intervall  $[0, \dots, 1]$  normiert. Bei Matrizen mit hoher  $FA$  (nahe 1) ist ein Eigenwert um ein Vielfaches größer als die anderen beiden. Dies kann beispielsweise in Aufnahmen der Diffusions-MRT ein Hinweis auf die Position und Richtung von Nervenbahnen sein. Niedrige  $FA$  dagegen drückt aus, dass die Eigenwerte etwa die gleichen Werte annehmen. In der Kontinuumsmechanik ist dies beispielsweise in Bereichen isotroper Verformung (also gleichmäßiger Ausdehnung / gleichmäßigem Schrumpfen in alle Richtungen) der Fall.

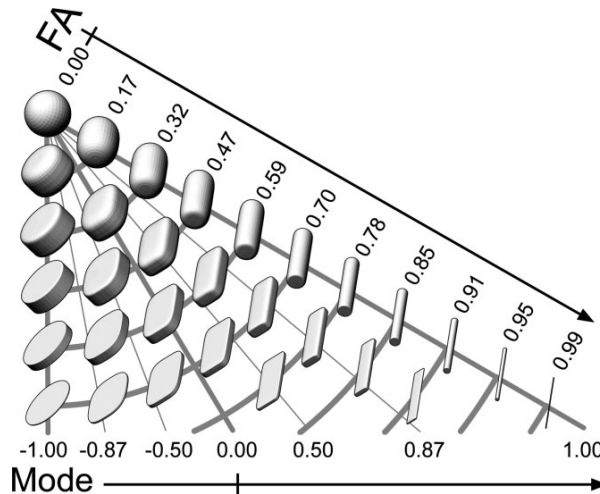


Abb. 1: Darstellung der fraktionalen Anisotropie und des Modus von Matrizen in Form von Superquadrics[16]. Die Fraktionale Anisotropie nimmt mit größerer Entfernung zum obersten linken Superquadric zu. Der Modus des Deviators wird abhängig vom Winkel dargestellt, wobei er links -1 beträgt und rechts 1. Entnommen aus [10, S. 140].

### 3.1.15 Modus einer Matrix

Der Verformungs-Modus [7] einer Matrix  $A$ , im Folgenden kurz Modus genannt, ist definiert als

$$\text{mode}(A) = 3\sqrt{6} \det(A \setminus \text{norm}(A)) \quad (17)$$

wobei  $\det()$  die Determinante ist. Im Folgenden wird meistens der Modus des Deviators von  $A$  verwendet.

Der Modus liegt im Bereich  $[-1, 1]$  und drückt das Verhältnis der Eigenwerte der Matrix zueinander aus:

- $\text{mode}(A) = 1$ : ein hoher, zwei niedrige Eigenwerte; lineare Anisotropie
- $\text{mode}(A) = 0$ : ein hoher, ein niedriger und mittlerer Eigenwert; Orthotropie
- $\text{mode}(A) = -1$ : zwei hohe, ein niedriger Eigenwert; planare Anisotropie

Um die Intuition hinter Modus und fraktionaler Anisotropie zu verdeutlichen, sind in Abb. 1 Superquadrics von Matrizen unterschiedlicher Modi dargestellt. Insbesondere soll damit gezeigt werden, dass der Modus nicht von der Größe der Eigenwerte abhängt, sondern von deren Verteilung.

### 3.1.16 Gradient

Der Gradient einer skalaren Funktion  $f : \mathbb{R}^n \rightarrow \mathbb{R}$  über einem kartesischen Koordinatensystem ist definiert als

$$\text{grad}(f) = \begin{pmatrix} \frac{\partial f}{\partial x_1} \\ \vdots \\ \frac{\partial f}{\partial x_n} \end{pmatrix} \quad (18)$$

also als Vektor aller partiellen Ableitungen in die Richtungen  $x_i$ . Analog ist der Gradient einer Skalarfunktion  $g : K^{m \times n} \rightarrow \mathbb{R}$ , wobei  $K^{m \times n}$  der Raum aller  $m \times n$  Matrizen ist, definiert als

$$\text{grad}(g) = \begin{pmatrix} \frac{\partial f}{\partial a_{11}} & \cdots & \frac{\partial f}{\partial a_{1n}} \\ \vdots & \ddots & \vdots \\ \frac{\partial f}{\partial a_{m1}} & \cdots & \frac{\partial f}{\partial a_{mn}} \end{pmatrix} \quad (19)$$

wobei  $a_{ij}$  die Komponenten der Matrizen sind.

### 3.1.17 Orthogonalität von Matrizen

Zwei Matrizen  $U, V$  werden als orthogonal zueinander bezeichnet, wenn [10]

$$\text{tr}(U, V^T) = 0 \quad (20)$$

### 3.1.18 Matrixinvarianten

Als Invarianten werden zu mathematischen Objekten zugeordnete Größen bezeichnet, die invariant gegenüber der Anwendung bestimmten Transformationen auf die Objekte sind. Invarianten eines Tensors in Matrixdarstellung sind beispielsweise Größen, die sich unabhängig von der Wahl der Basis der Matrix nicht verändern[10]. Eine Invariante ist somit eine Funktion  $\Psi : M \rightarrow A$  die Objekten aus dem Vektorraum aller Matrizen  $M$  Objekte aus der Menge  $A$  zuordnet. In der Praxis wird für  $A$  meistens  $\mathbb{R}$  gewählt.

Da sich das vorliegende Paper auf symmetrische, dreidimensionale Tensoren 2. Grades und ausschließlich orthogonale Transformationen bezieht, werden die Invarianten eines

Tensors  $T$  durch seine Eigenwerte vollständig charakterisiert. Invarianten sind in diesem Spezialfall also auch als Funktion  $\Psi : \mathbb{R}^d \rightarrow \mathbb{R}$  der Form

$$\Psi : \begin{bmatrix} \lambda_1 \\ \lambda_2 \\ \lambda_3 \end{bmatrix} \rightarrow \mathbb{R} \quad (21)$$

darstellbar, wobei  $\lambda_1, \lambda_2, \lambda_3$  die Eigenwerte von  $T$  sind. Das stimmt mit der Betrachtungsweise von Zobel und Scheuermann [24] überein.

### 3.1.19 Invariantensätze

Mengen von Invarianten werden als Invariantensätze bezeichnet. Matrixinvarianten  $\Psi_1$  und  $\Psi_2$  werden als orthogonal zueinander bezeichnet, wenn ihre Gradienten für jede mögliche Eingabematrix orthogonal sind. Die genauen Definitionen und Berechnungen dazu sind in ‘Orthogonal tensor invariants and the analysis of diffusion tensor magnetic resonance images’ von Ennis, Kindlmann et al. [10] nachzulesen. Da Gradienten von skalarwertigen Funktionen auf Matrizen wiederum Matrizen sind [10, S. 137], genügt zu zeigen dass diese orthogonal zueinander sind. Invariantensätze, deren Elemente paarweise orthogonal sind, werden als orthogonale Invariantensätze bezeichnet.

Für  $3 \times 3$  Matrizen enthalten alle orthogonalen Invariantensätze höchstens 3 Invarianten. In der Praxis spielen jedoch eine Vielzahl von Invariantensätzen eine Rolle, von denen im Folgenden einige erläutert werden:

**Die Eigenwerte** Eigenvektoren  $v_i$ ,  $1 \leq i \leq 3$  einer  $3 \times 3$  Matrix  $M$  sind vom Nullvektor verschiedene Vektoren, für die gilt

$$M \cdot v_i = \lambda_i v_i \quad (22)$$

Intuitiv bedeutet das, dass sich durch Multiplikation mit  $M$  ihre Richtung nicht verändert. Die zugehörigen  $\lambda_i$  werden als Eigenwerte bezeichnet und bilden einen orthogonalen Invariantensatz. Sie sind insbesondere in der Medizin sehr beliebt, da Eigenwerte Hinweise auf Diffusionsbewegungen in Gewebe liefern können.

**Der I-Invariantensatz** Das charakteristische Polynom  $\chi$  einer  $3 \times 3$  Matrix  $A$  hat die Form

$$\begin{aligned} \chi_A(\lambda) &= \det(\lambda I - A) \\ \chi_A(\lambda) &= -\lambda^3 + I_1 \lambda^2 - I_2 \lambda + I_3 \end{aligned} \quad (23)$$

wobei  $\lambda$  ein Element aus dem Körper von  $A$  und  $I$  die dreidimensionale Einheitsmatrix ist. Es wird häufig verwendet um die Eigenwerte von Matrizen zu bestimmen, da diese den Nullstellen entsprechen.

Eine weitere Eigenschaft ist, dass die Parameter  $I_1, I_2, I_3$  einen Invariantensatz darstellen. Wegen der Wichtigkeit des charakteristischen Polynoms werden sie häufig als ‘Hauptinvarianten’ bezeichnet. Alternativ können sie auch berechnet werden als

- $I_1(A) = \text{tr}(A)$  (Spur von  $A$ )
- $I_2(A) = \frac{1}{2}(\text{tr}(A)^2 - \text{tr}(A^2))$  (Summe der Hauptminoren von  $A$ )
- $I_3(A) = \det(A)$  (Determinante von  $A$ )

$I$  bildet jedoch keinen orthogonalen Invariantensatz.

**Der J-Invariantensatz** Die Berechnung der J-Invarianten ist identisch zum I-Invariantensatz, nur dass statt  $A$  der Deviator von  $A$  als Eingabe verwendet wird:

- $J_1(A) = \text{tr}(\tilde{A})$  (Spur des Deviators von  $A$ )
- $J_2(A) = \frac{1}{2}(\text{tr}(\tilde{A})^2 - \text{tr}(\tilde{A}^2))$  (Summe der Hauptminoren des Deviators von  $A$ )
- $J_3(A) = \det(\tilde{A})$  (Determinante des Deviators von  $A$ )

Dabei ist jedoch zu beachten, dass

$$\begin{aligned}
 \text{tr}(\tilde{A}) &= \text{tr}(A - \frac{1}{3}\text{tr}(A)I) \\
 &= a_{11} - \frac{1}{3}\text{tr}(A) + a_{22} - \frac{1}{3}\text{tr}(A) + a_{33} - \frac{1}{3}\text{tr}(A) \\
 &= a_{11} + a_{22} + a_{33} - \text{tr}(A) \\
 &= \text{tr}(A) - \text{tr}(A) \\
 &= 0
 \end{aligned} \tag{24}$$

weshalb statt  $J_1$  in der Regel  $I_1$  als Teil des Invariantensatzes verwendet wird. Ähnlich wie  $I$  ist auch  $J$  nicht orthogonal.

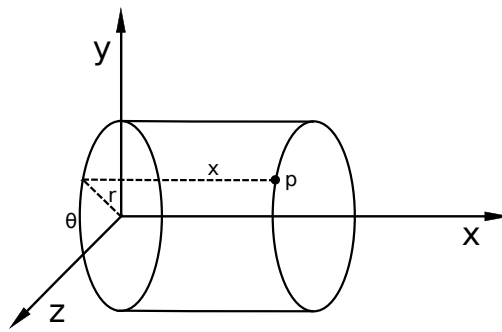


Abb. 2: Darstellung eines zylindrischen Koordinatensystems.  $x, y$  und  $z$  entsprechen dabei den kartesischen Achsen. Die Koordinaten des Punktes  $p$  sind angegeben als  $x, r, \theta$ .  $x$  entspricht der kartesischen Koordinate,  $r$  ist die Entfernung zwischen der Projektion von  $p$  auf die von  $y$  und  $z$  Achse aufgespannte Fläche und dem Koordinatenursprung und  $\theta$  entspricht dem Winkel zwischen Projektion von  $p$ , dem Koordinatenursprung und der X-Achse.

**Der K-Invariantensatz** Der K-Invariantensatz ist orthogonal und besteht aus den Invarianten  $K_1, K_2$  und  $K_3$ . Diese sind für eine Matrix  $A$  definiert als

- $K_1(A) = \text{tr}(A)$  (Spur von  $A$ )
- $K_2(A) = \text{norm}(\tilde{A})$  (Norm des Deviators von  $A$ )
- $K_3(A) = \text{mode}(\tilde{A})$  (Modus des Deviators von  $A$ )

Da  $K_1 \in [-\infty, \infty]$ ,  $K_2 \in [0, \infty]$ ,  $K_3 \in [-1, 1]$  bietet sich für den K-Invariantensatz eine Darstellung in einem zylindrischen Koordinatensystem an, wobei  $K_1$  eine Position auf einer zentralen Achse beschreibt,  $K_2$  die orthogonale Entfernung zu diesem Punkt und  $K_3$  den Winkel zu einer festgelegten, zur zentralen Achse orthogonalen, zweiten Achse. Sowohl ein zylindrisches als auch ein kartesisches Koordinatensystem sind in Abbildung 2 dargestellt.  $K_1$  entspricht dabei der zylindrischen  $x$ -Koordinate,  $K_2$  dem Radius  $r$  und  $K_3$  dem Winkel  $\theta$ .

Ein Vorteil des K-Invariantensatzes ist die relativ leichte Interpretierbarkeit in der Kontinuumsmechanik.  $K_1$  kann als Maß der absoluten ‘Größe’ der Matrix,  $K_2$  als Maß des anisotropen Anteils angesehen werden [18]. Dagegen kann aus dem Wert von  $K_3$  die Verteilung der Eigenwerte und damit die Form der Anisotropie des Tensors geschlussfolgert werden.

**Der R-Invariantensatz** Der orthogonale R-Invariantensatz verwendet die Invarianten  $R_1, R_2$  und  $R_3$ . Für eine Matrix  $A$  sind sie definiert als

- $R_1(A) = \text{norm}(A)$  (Norm von  $A$ )

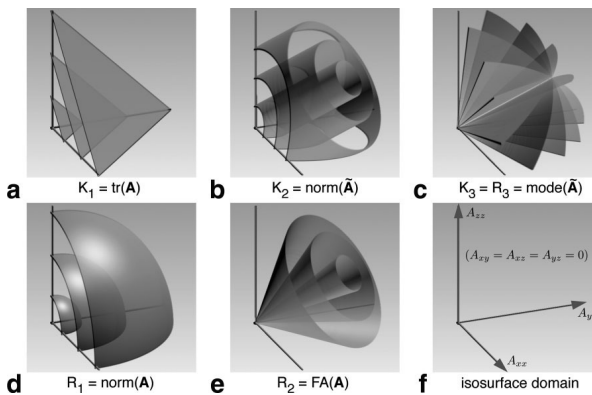


Abb. 3: Dargestellt sind Isoflächen der K und R Invarianten von diagonalisierten  $3 \times 3$  Matrizen (alle Werte ausserhalb der Hauptdiagonale sind 0). Die Koordinatenachsen entsprechen den drei Eigenwerten der Matrizen. Entnommen aus [10, S. 139]

- $R_2(A) = \sqrt{\frac{3}{2} \frac{\text{norm}(\tilde{A})}{\text{norm}(A)}}$  (Fraktionale Anisotropie)
- $R_3(A) = \text{mode}(A)$  (Modus von  $A$ )

Dabei fällt auf, dass  $R_3(A) = K_3(A) = \text{mode}(A)$ . Ähnlich wie der K-Invariantensatz kann auch R in einem zylindrischen Koordinatensystem dargestellt werden.

Ähnlich wie der K-Invariantensatz existiert auch für den R-Satz eine Interpretation in der Kontinuumsmechanik.

Sowohl K als auch R beschreiben die Verteilung, die Größe und das Verhältnis der Eigenwerte zueinander. Dies ist in Abb. 3 dargestellt.

## 3.2 Mechanische Grundlagen

### 3.2.1 Physikalisches Feld

Ein physikalisches Feld ist eine physikalische Größe, die an verschiedenen Positionen im Raum unterschiedliche Werte annimmt[11, 1–2 Electric and magnetic fields]. Abstrahiert kann es als Funktion  $\mathbb{R}^n \rightarrow V$  beschrieben werden, wobei  $V$  eine beliebige Menge ist. Häufig wird für  $V$  jedoch  $\mathbb{R}$  (z.B. bei Temperaturen),  $\mathbb{R}^n$  (z.B. bei Strömungen) oder  $\mathbb{R}^{m \times n}$  (z.B. bei Verformungen) eingesetzt. Andere Beispiele für physikalische Felder sind elektromagnetische Felder oder Gravitationsfelder. Felder werden meist abhängig von ihrem Bild klassifiziert, so z.B. in Skalar-, Vektor- oder Tensorfelder.

Wenn Felder nicht in Form einer kontinuierlichen Funktion beschrieben werden können, z.B. weil nur für endlich viele Punkte Messwerte vorhanden sind, kann ein Feld auf einem Gitter, das aus diesen Messpunkten besteht, definiert werden. Die Werte innerhalb der Zellen lassen sich dann durch Interpolation der Werte an den Eckpunkten berechnen.

Innerhalb der vorliegenden Arbeit werden Spannung und Verformung an Punkten von Objekten als Felder  $\mathbb{R} \rightarrow \mathbb{R}^{m \times n}$  beschrieben.

### 3.2.2 Mechanische Spannung

In der Mechanik beschreibt Spannung (engl. stress) die Kraft, die Partikel innerhalb eines Objektes aufeinander auswirken. Um die Spannung an einem Punkt zu bestimmen, wird die Kraft, die auf infinitesimal kleine Flächenteile von Schnitten durch das Objekt wirkt, berechnet. Die Kraft ist dabei als Vektor formulierbar. Wenn die Schnitte entlang von 3 zueinander orthogonalen Ebenen durchgeführt werden, erhält man so drei Vektoren, die zusammen die Matrixdarstellung des Cauchy Tensors  $\sigma$  bilden:

$$\sigma = \begin{bmatrix} \sigma_x & \tau_{xy} & \tau_{xz} \\ \tau_{xy} & \sigma_y & \tau_{yz} \\ \tau_{xz} & \tau_{yz} & \sigma_z \end{bmatrix} \quad (25)$$

Jede Spalte des Cauchy Tensors entspricht dabei einem der Vektoren. Wie aus der Formel ersichtlich, ist die Matrix symmetrisch und enthält zwei Typen von Komponenten: Die  $\sigma$  entlang der Hauptdiagonale, die Kraft in Richtung der Normalen der jeweiligen Ebene angeben, und den  $\tau$ , die Scherspannungen angeben, die parallel zu den Schnittebenen verlaufen.

### 3.2.3 Mechanische Verformung

Wenn in einem Objekt Spannung vorliegt, so verformt es sich proportional zur Stärke der Spannung (Hooke'sches Gesetz). Durch einen Verformungstensor (auch Verzerrungstensor, engl. strain tensor) lässt sich die Verformung an einem Punkt durch Kraftanwendung angeben:

$$= \begin{bmatrix} \epsilon_x & \frac{1}{2}\gamma_{xy} & \frac{1}{2}\gamma_{xz} \\ \frac{1}{2}\gamma_{xy} & \epsilon_y & \frac{1}{2}\gamma_{yz} \\ \frac{1}{2}\gamma_{xz} & \frac{1}{2}\gamma_{yz} & \epsilon_z \end{bmatrix} \quad (26)$$

Ähnlich wie beim Spannungstensor drücken die  $\epsilon$  in der Hauptdiagonale Dehnungen oder Stauchungen des Objektes entlang der Hauptachsen aus, die  $\gamma$  Werte Scherungen, also Verschiebungen der Seitenflächen zueinander. Dabei ändern sich die Winkel der Kanten des Objektes zueinander.

## 4 Verwendete Verfahren und Technologien

### 4.1 FAnToM

FAnToM[1][23] ('Field Analysis using Topological Methods') ist ein Programm, dessen Entwicklung im Jahre 1999 begann. Obwohl es zu Anfang noch als Hilfsmittel für die Analyse von Vektorfeldtopologien konzipiert war, entwickelte es sich über die Jahre hinweg zu einer Plattform für diverse Visualisierungen.

Erweiterungen von FAnToM werden in Form von sogenannten Algorithmen entwickelt. Dabei unterscheidet man 2 Arten: den 'Data Algorithm' und den 'Visualization Algorithm'. Data Algorithms sind Erweiterungen, die Daten verarbeiten. Beispiele dafür sind 'Load VTK', eine Erweiterung die Daten aus dem VTK Format einliest, oder 'Combine Scalar to Vector', das mehrere Felder mit skalaren Werten zu einem einzelnen Feld mit Vektorwerten kombiniert, deren Komponenten den Skalaren entsprechen. Visualization Algorithms dagegen dienen dazu, Visualisierungen zu erzeugen. Interaktionen mit den Visualisierungen können entweder über die Maus oder über Optionen stattfinden.

Ein wesentliches Feature von FAnToM besteht darin, Algorithmen miteinander zu verknüpfen. Dies geschieht, indem Ausgabedaten von Algorithmen können als Eingabe für andere dienen können. Da viele Algorithmen mit Blick auf Wiederverwendbarkeit entwickelt wurden, können so mit wenig Aufwand aus bestehenden Algorithmen komplett neue Visualisierungspipelines entwickelt werden. Dies geschieht mittels des sogenannten 'Flow Graphs', in dem Algorithmen als Knoten dargestellt sind, deren Aus- und Eingaben durch Kanten verbunden werden können.

Die aktuelle FAnToM-Session, also die momentan benutzten Algorithmen mit ihren Optionen sowie jeweiligen Ein- und Ausgaben, können als 'Session' gespeichert und zu einem späteren Zeitpunkt wieder geladen werden.

Erweiterungen können auf eine Vielzahl von mächtigen Werkzeugen zugreifen, die von FAnToM zur Verfügung gestellt werden. Besonders wichtig für die vorliegende Arbeit waren dabei das hoch entwickelte (: anderes Wort) Datenmodell, das viele Funktionen zum Verarbeiten von Feldern und Tensoren bietet, die bestehenden Schnittstellen für Qt und OpenGL sowie die große Bibliothek von wiederverwendbaren Algorithmen.

### 4.2 OpenGL

OpenGL[15] ist eine Spezifikation die das Verhalten eines rasterbasierten Renderingsystems beschreibt. Sie definiert eine Schnittstelle, gegen die von zwei Seiten entwickelt werden kann: Zum einen von Seiten der Hardwarehersteller, die Funktionen von OpenGL auf ihrer Hardware implementieren. Zum anderen von Programmierern, die durch OpenGL unabhängig von der Hardware, auf der das Programm am Ende laufen soll, entwickeln können.

Die Verarbeitungsschritte von der Übergabe von Daten zu OpenGL bis zum fertig gerenderten Bild wird als Rendepipeline bezeichnet. Seit Version 2.0 unterstützt OpenGL sogenannte ‘Shader’, kleine Programmstücke, die es Benutzern von OpenGL ermöglichen, die Renderpipeline sehr stark zu verändern. Shader bekommen drei Arten von Eingabedaten:

1. Die Ausgabe des vorherigen Schrittes in der Renderpipeline
2. Parameter aus dem Programm, das OpenGL verwendet (‘Uniforms’)
3. Daten, die aus dem vorhergehenden Shader übergeben wurden

Ein wichtiger Spezialfall von Uniforms sind Texturen, die in dem OpenGL verwendenden Programm geladen, an die Shader übergeben und dort verwendet werden können.

In der vorliegenden Arbeit wurden Vertex, Geometry und Fragment Shader entwickelt. Diese drei Typen sind folgend kurz erklärt.

**Vertex Shader** Vertex Shader bekommen als Eingabe aus der Renderpipeline die Punkte eines zu zeichnenden Grafikprimitivs, beispielsweise Punkte eines Liniensegmentes oder die Eckpunkte eines Dreiecks. Abhängig von den eingegebenen Uniforms können die Koordinaten dieser Punkte dann durch den Shader verändert werden. Dies ist beispielsweise üblich um die Sicht auf die Szene von der Position der Kamera aus zu berechnen. Vertex Shader werden einmal pro Punkt ausgeführt. Die Ausgabe des Vertex Shaders sind die neuen Koordinaten der Punkte der Primitive.

**Geometry Shader** Die Renderpipeline übergibt dem Geometry Shader für jedes Primitiv eine Liste der dazugehörigen Punkte, z.B. eine Liste von 3 Punkten für ein Dreieck. Der Geometry Shader ist in der Lage, die Position und den Typ dieser Primitive beliebig zu verändern, und sogar neue Punkte zu erzeugen. So kann er beispielsweise aus einer Linie ein Dreieck erzeugen. Zusätzlich kann er pro Punkt Uniforms definieren, die an später ausgeführte Shader (Vertex Shader) weitergegeben werden. Pro Primitiv wird der Geometry Shader einmal ausgeführt.

**Fragment Shader** Fragment Shader bestimmen die Farben der Fragmente. Fragmente sind Stücke der projizierten Primitve, deren Größe von der Art der Rasterisierung abhängen (z.B. Supersampling). Die Eingaben sind der Mittelpunkt des Fragments und die für diesen Punkt interpolierten Attribute der Eckpunkte des Primitivs. Neben der Fragmentfarbe können auch Werte ausgegeben werden, z.B. ein Tiefenattribut, das korrekte Überlappung von Primitiven ermöglicht.

Weitere im Folgenden verwendete Funktionen von OpenGL sind ‘Blending’, eine Funktion durch die Fragmente übereinander gezeichnet und ihre Farbwerte gewichtet kombiniert

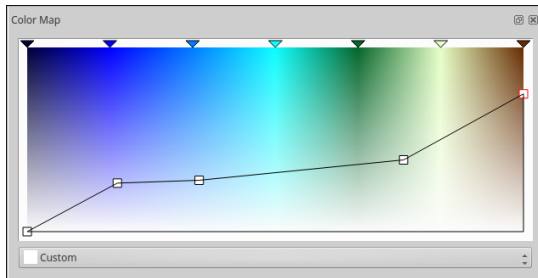


Abb. 4: Eine Implementierung einer interaktiven Transferfunktion in FAnToM.

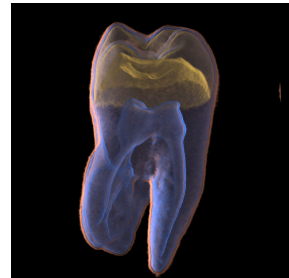


Abb. 5: Ein Direct Volume Rendering eines Zahns. Entnommen aus [9, S. 6]

werden können, was z.B. für transparente Objekte wichtig ist sowie die Möglichkeit, gerenderte Bilder in einer Textur zu speichern.

Die meisten Implementierungen von OpenGL machen intensiven Gebrauch von Grafikkarten und deren Fähigkeit zur extremen Parallelisierung von Aufgaben. Dies, verbunden mit der Möglichkeit Ausgaben der Renderpipeline zurück in den Arbeitsspeicher zu laden und der Anpassbarkeit der Renderpipeline durch Shader ermöglicht es, OpenGL auch für andere rechenintensive, jedoch gut parallelisierbare Aufgaben zu benutzen und so Berechnungen stark zu beschleunigen.

### 4.3 Qt

Qt[6] ist eine populäre, plattformübergreifende Bibliothek für die Entwicklung von Programmoberflächen. Die Popularität von Qt beruht auf der Plattformunabhängigkeit und der großen Vielfalt leicht zu verwendender Funktionen.

FAnToM besitzt eine auf Qt basierende Oberfläche, die aus Algorithmen heraus um weitere Fenster und Elemente erweitert werden kann. Eine wesentliche Fähigkeit von Qt ist dabei, einen OpenGL Kontext zu erzeugen, so dass durch OpenGL gerenderte Bilder angezeigt werden können. Dies wird innerhalb dieser Arbeit verwendet, um mehrere, unabhängige Datensichten zu implementieren.

### 4.4 Direct Volume Rendering

In der Computergrafik werden dreidimensionale Objekte üblicherweise durch Dreiecke dargestellt, durch die die Oberfläche der Objekte approximiert werden. Dies entfernt jedoch alle Informationen über Strukturen im Inneren der Objekte, so wie Bereiche unterschiedlicher Materialien oder Dichte. Durch das Berechnen und Zeichnen von Isoflächen kann dieses Problem behoben werden, dies erfordert jedoch hohe Rechenzeiten und gute Kenntnis der Datensätze, um geeignete Isowerte festzulegen.

Eine Alternative bietet das Direct Volume Rendering[9] (im Folgenden DVR). Als Eingabe wird ein Feld  $f : \mathbb{R}^3 \rightarrow \mathbb{R}$  verwendet, das Punkten im dreidimensionalen Raum skalare Werte zuordnet. Die Interpretation dieser Werte kann, abhängig vom Einsatzgebiet, unterschiedlich sein. Beispiele dafür sind die abgegebene Energie von Regionen in der Magnetresonanztomographie oder die Menge von absorbiert Röntgenstrahlung in der Computertomographie. Den skalaren Werte werden mittels einer ‘Transferfunktion’ Farbwerte und Transparenz zugeordnet.

Eine Implementierung einer Interaktiven Transferfunktion in FAnToM ist in Abb. 4 zu sehen. Die horizontale Achse entspricht den skalaren Werten zwischen Minimum und Maximum im Datensatz sowie den zugeordneten Farben. Die vertikale Achse entspricht der Transparenz, von vollständig transparent am unteren Rand bis zu komplett intransparent am oberen Rand. Durch Position und Farbe der Dreiecke am oberen Rand der Transferfunktion kann die Farbzuordnung festgelegt werden. Die Quadrate stellen interaktiv ausgewählte Punkte dar, die Zuordnungen von Werten im Skalarfeld zu Farb- und Transparenzwerten entsprechen, zwischen denen entlang der verbindenden Linien interpoliert wird. So werden allen Werten im Feld eine Farbe und eine Transparenz zugeordnet.

Ziel des DVR ist es, mithilfe der Transferfunktion eine dreidimensionale Darstellung des Feldes zu erzeugen, in der Bereiche entsprechend der Transferfunktion Licht ausstrahlen, das von anderen Bereichen entsprechend ihrer Transparenz durchgelassen oder absorbiert wird. Dadurch ist es möglich, Strukturen im Inneren des Feldes sichtbar zu machen. Ein Beispiel für eine so erzeugtes Bild ist in Abb. 5 dargestellt.

Es existieren viele DVR Verfahren die sich in Laufzeit, Bildqualität und Anfälligkeit für Artefakte unterscheiden. In dieser Arbeit wurde Raycasting verwendet, was folgend erläutert wird.

#### 4.4.1 Raycasting

Beim Raycasting wird für jedes Pixel ein Strahl durch den Mittelpunkt des Pixels und die Position der Kamera berechnet. Entlang dieses Strahls wird an, nach ihrer Entfernung von der Kamera geordneten Punkten  $s_1, \dots, s_n$  (‘Samplepunkten’) der interpolierte Wert des Feldes  $v(s_i)$ ,  $1 \leq i \leq n$  berechnet. Der paarweise Abstand der Samplepunkte ist dabei kontant. Aus dem ermittelten Wert wird mithilfe der Transferfunktion die Farbe  $f(v(s_i))$  und die Transparenz  $t(v(s_i))$  für diesen Wert bestimmt.

Dabei sei die Transparenz ein Wert im Intervall  $[0, 1]$  und Farbe ein Vektorraum über  $\mathbb{R}$ , wie z.B. im RGBA Farbmodell, für den die Multiplikation mit einem Skalar definiert ist. Die Farbe des Pixels  $p$  wird dann für die Samplepunkte entlang des entsprechenden

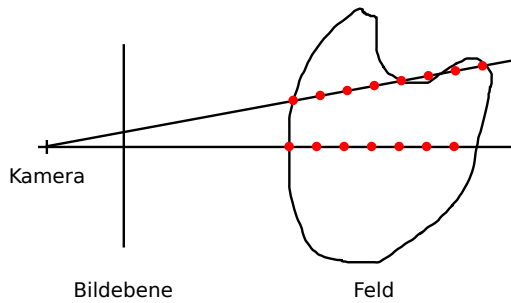


Abb. 6: Eine vereinfachte Darstellung eines optimierten Raycastings. Die Bildebene entspricht der Ebene, die durch die imaginäre Position der Pixel gebildet wird. Die Roten Punkte entlang der Strahlen entsprechen den Samplepunkten.

Strahls berechnet als

$$p = \sum_{i=1}^n \left( f(s_i) \cdot \prod_{j=1}^i \frac{(1 - t(s_j))}{n} \right) \quad (27)$$

Das hat den Effekt, dass weiter von der Kamera entfernte Samplepunkte von näheren Punkten entsprechend ihrer Transparenz verdeckt werden. Insbesondere hat es die Konsequenz, dass, sobald genügend Punkte verarbeitet wurden, so dass die ‘verbleibende Transparenz’ einen Grenzwert unterschreitet, sich die Farbe des Pixels nicht mehr stark verändert, und die Berechnung frühzeitig beendet werden kann. Die verbleibende Transparenz wird durch die Gesamtzahl der Samplepunkte  $n$  geteilt, damit eine höhere Anzahl an Samplepunkten nicht zu einem schnelleren Verlust von Transparenz führt.

Eine weitere Optimierung besteht darin, die Samplepunkte erst nach dem Eintreten des Strahls in das Feld beginnen zu lassen und die Berechnung zu beenden, sobald alle verbleibenden Samplepunkte ausserhalb des Feldes liegen. Eine vereinfachte Darstellung dieses optimierten Verfahrens ist in 6 dargestellt.

Die Qualität eines Raycastings ist stark abhängig von der Anzahl an Samplepunkten pro Strahl und somit vom Abstand zwischen den Samplepunkten. Ein geringerer Abstand führt generell zu weniger Artefakten und macht kleine Strukturen besser erkennbar, erhöht jedoch den Rechenaufwand. Indem der Benutzer die Anzahl von Samplepunkten selbst auswählt, kann er seinen optimalen Tradeoff zwischen Rechenzeit und Bildqualität finden. In Abb. 7a und 7b sind zwei Darstellungen desselben Skalarfeldes zu sehen, die durch Raytracing mit einer unterschiedlichen Anzahl von Samplepunkten erzeugt wurden. 7a wurde mit 20 Samplepunkten erstellt, wodurch visuelle, scheibenartige Artefakte entstanden. Bei einer höheren Menge von 200 Samplepunkten in 7b verschwinden diese Artefakte.

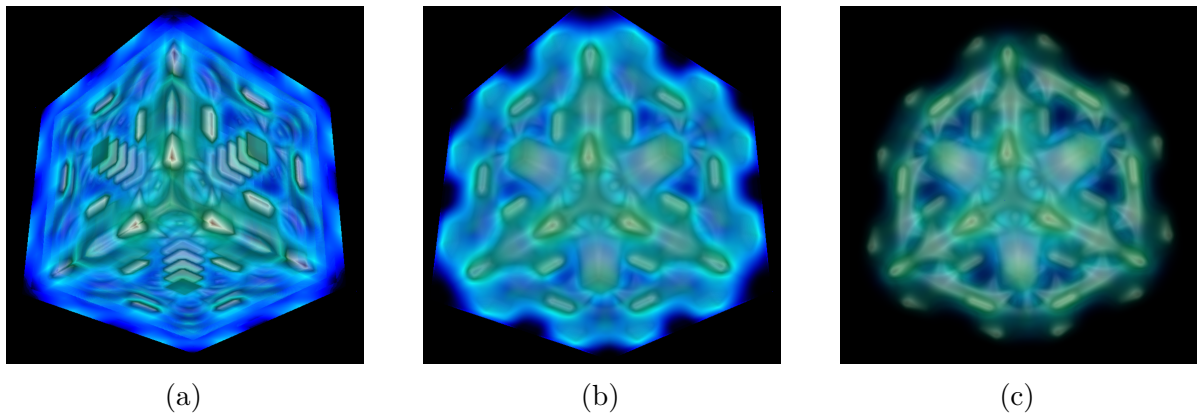


Abb. 7: Drei Raycastings des Felds  $f : \mathbb{R}^3 \rightarrow \mathbb{R}$ ,  $f \begin{pmatrix} x \\ y \\ z \end{pmatrix} = \cos(x \cdot y \cdot z)$ .

Eine weitere wichtige Einstellung ist, welche Zahl in Formel 27 für Variable  $n$  verwendet wird. Wenn  $n$  die Anzahl der Samplepunkte pro Strahl ist, kann dies, wenn die Blickrichtung der Kamera nicht senkrecht auf einer der Seitenflächen steht, dazu führen, dass Bereiche am Rand des Feldes transparenter dargestellt werden als in der Mitte. Das liegt daran, dass der Strahl am Rand weniger Samplepunkte produziert die innerhalb des Feldes liegen. Ein Beispiel dafür ist in 7c mit 200 Samplepunkten dargestellt.

Alternativ kann für  $n$  die Anzahl der Samplepunkte, die tatsächlich im Feld liegen, gewählt werden. Dies wurde in Abb. 7b getan. Wenn man nun 7b und 7c miteinander vergleicht, fällt auf, dass die Pixel in der Mitte der Darstellung etwa die gleichen Farben erhalten haben, 7c in Richtung Rand jedoch erheblich transparenter wird. Welche von beiden Varianten bevorzugt wird, hängt von der Art des Datensatzes ab sowie davon, wie wichtig es ist, korrekte Werte ablesen und vergleichen zu können.

## 4.5 Continuous Scatterplotting

### 4.5.1 Scatterplotting

Scatterplotting ist ein weiter verbreitetes Verfahren, um Attribute von Objekten relativ zueinander darzustellen. Es bildet eine Funktion auf einer Menge von Objekten  $M$  als  $\tau : M \rightarrow \mathbb{R}^n, n \in \{1, 2, 3\}$ , wobei das Bild eine Projektion auf einzelne oder zusammengesetzte Attribute der Objekte darstellt. Dazu wird pro Objekt ein Punkt in ein zweidimensionales Koordinatensystem eingetragen, dessen Koordinatenachsen Attributwerten entsprechen. Beispiele für Scatterplottings sind in Abb. 8 abgebildet. Das Bild von  $\tau$  ist auf maximal 3 Dimensionen beschränkt, da höherdimensionale Daten visuell nur schwer zu interpretieren sind.

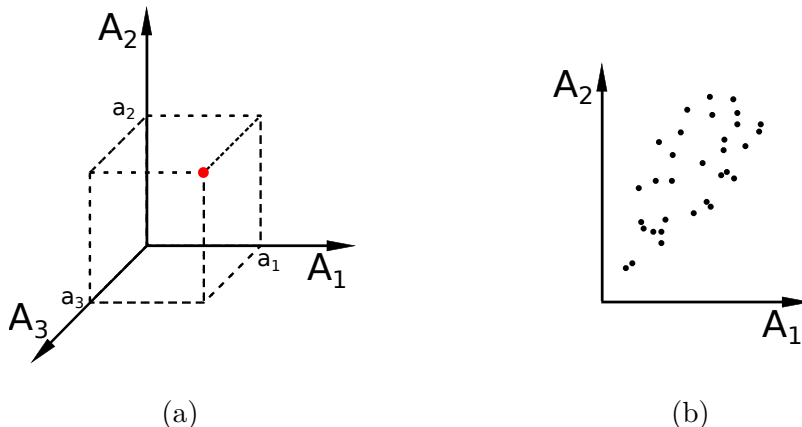


Abb. 8: Zwei Beispiele für Scatterplottings. In (a) wird ein Objekt mit den Attributwerten  $a_1, a_2, a_3$  als roter Punkt in einem dreidimensionalen Scatterplot dargestellt. Um die Attribute besser ablesen zu können, wurden gestrichelte Linien eingezeichnet. In (b) wurden mehrere Objekte mit unterschiedlichen Attributen im selben, zweidimensionalen Scatterplot als schwarze Punkte eingezeichnet.

Ein Vorteil von Scatterplottings ist die leichte Erkennbarkeit von Strukturen in den Datensätzen: Cluster, Outlier und funktionale Zusammenhänge zwischen den verwendeten Attributen sind leicht erkennbar.

Scatterplotting hat jedoch zwei gravierende Nachteile. Zum einen macht die geringe Dimensionalität des Bildes von  $\tau$  die Projektion auf eine Teilmenge der Attribute notwendig, zum anderen kann Scatterplotting nur endlich viele Objekte gleichzeitig darstellen.

Ein Beispiel für ein Urbild mit unendlich vielen Elementen ist  $\mathbb{R}^n$  bei physikalischen Feldern. Dort sind an jedem der unendlich vielen Punkte Werte definiert. Ein Scatterplot dieser unendlich vielen Elemente ist nun weder in endlicher Laufzeit möglich, noch wären einzelne Punkte in der entstehenden Darstellung erkennbar. Eine Alternative besteht darin, nur den Scatterplot der Eckpunkte der Zellen zu erzeugen, doch damit gehen Informationen über die Punkte innerhalb der Zellen verloren.

#### 4.5.2 Erklärung des Continuous Scatterplottings

Das Continuous Scatterplotting stellt eine Erweiterung des Scatterplottings dar, so dass statt nur einer endlichen Anzahl von Objekten auch kontinuierliche Bereiche verarbeitet werden können. Die von Bachthaler und Weiskopf[3] vorgestellte Definition wurde von Fritzsche[12] um einige wichtige Punkte erweitert. Dabei verwendet es einen Ansatz, der dem Verfahren bei der Herleitung der Kontinuumsmechanik aus Systemen mit diskreten Massenpunkten ähnelt [3, S. 1429]. Das Ziel des Continuous Scatterplottings ist es eine Dichtefunktion  $\sigma : \mathbb{R}^m \rightarrow \mathbb{R}$  zu finden, die den Punkten des Bildraums, abhängig von  $\tau$ , Dichtewerte zuordnet.  $\sigma$  kann als Funktion aufgefasst werden, die jedem Pixel des

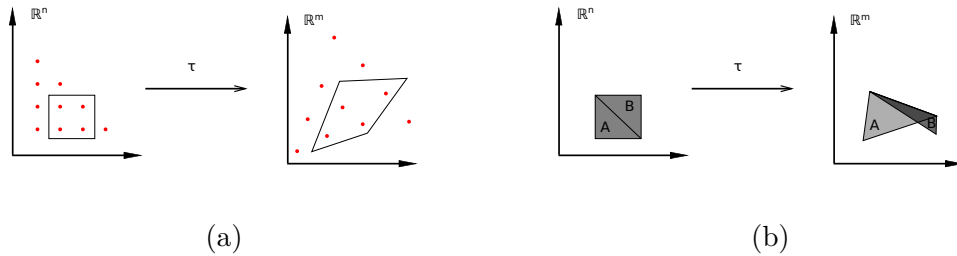


Abb. 9: Darstellung der Dichteverteilung abhängig von  $\tau$ . (a) Die roten Punkte deuten die Dichte in den beiden Scatterplots an, die zwei Vierecke sind ein Bereich des Urbilds, der durch  $\tau$  verformt wird. Zu erkennen ist, dass eine Streckung eines Bereichs zur Verringerung der Dichte und eine Stauchung zur Erhöhung der Dichte führt. (b) Der Continuous Scatterplot zweier Dreiecke. Der Grauwert gibt die Dichte in den jeweiligen Bereichen an.

Scatterplots einen skalaren Wert zuordnet, der z.B. als Farbe oder Opazität dargestellt werden kann. In Abb. 9 ist der Effekt, den  $\tau$  auf die Dichtefunktion hat, dargestellt. Um  $\sigma$  berechnen zu können, werden 2 Annahmen getroffen:

Die erste Annahme ist, dass eine Dichtefunktion  $s : \mathbb{R}^n \rightarrow \mathbb{R}$  existiert, die jedem Punkt des Urbilds von  $\tau$  einen skalaren Wert, die Dichte an diesem Punkt, zuordnet. Der Einfachheit halber wird im Folgenden eine uniforme Dichte von  $s(x) = 1$  angenommen. Aus der Dichte an den Punkten lässt sich die Gesamtdichte  $M$ , auch bezeichnet als Masse, einer Teilmenge  $V \subset \mathbb{R}^n$  berechnen:

$$M = \int_V s(x) d^n x \quad (28)$$

Die zweite Annahme sagt aus, dass die Masse einer Teilmenge  $V \subset \mathbb{R}^m$  gleich der Masse ihres Urbildes ist, also  $\tau$  die Gesamtdichte nicht beeinflusst. Da  $\tau$  in der Regel nicht invertierbar ist, wird  $\tau^{-1}(\phi), \phi \subset \mathbb{R}^m$  verwendet, um das Urbild von  $\phi$  zu notieren.

Für  $\xi \in \Phi$  führen die Annahmen zu der Gleichung

$$\int_{\phi} \sigma(\xi) d^m \xi = \int_{\tau^{-1}(\phi)=V} s(x) d^n x \quad (29)$$

Da  $\tau$  weder injektiv noch surjektiv ist, gilt der umgekehrte Fall nur, wenn zusätzlich  $\forall x \in V : f^{-1}(f(x)) \subset V$  gilt [12, S. 20].

$$\int_V s(x) d^n x = \int_{\phi=\tau(V)} \sigma(\xi) d^m \xi \quad (30)$$

Fritzs [12, S. 20 f.] definiert zusätzlich ein  $\sigma_v$ , das die Dichtefunktion der Einschränkung von  $\tau$  auf  $V$  beschreibt, also den ‘Beitrag’ von  $V$  zu  $\sigma$ .

$$\int_{\phi} \sigma_v(\xi) d^m \xi = \int_{\tau|_V^{-1}(\phi)} s(x) d^n x \quad (31)$$

Mithilfe der  $\sigma_v$  stellt Fritzs fest, dass für eine Zerlegung des Definitionsbereichs  $U$  von  $\tau$  in eine Menge von disjunkten Teilmengen  $\hat{V} = V_i | V_i \in U$  gilt dass

$$\begin{aligned} \int_{\phi} \sigma(\xi) d^m \xi &= \int_{\bigcup_{V_i} \tau|_{V_i}^{-1}(\phi)} s(x) d^n x \\ &= \sum_{V_i} \int_{\tau|_{V_i}^{-1}(\phi)} s(x) d^n x \\ &= \sum_{V_i} \int_{\phi} \sigma_{V_i}(\xi) d^m \xi \\ &= \int_{\phi} \sum_{V_i} \sigma_{V_i}(\xi) d^m \xi \end{aligned} \quad (32)$$

Da die Integranden des ersten und letzten Integrals gleich sein müssen, ergibt sich daraus

$$\sigma(\xi) = \sum_{V_i} \sigma_{V_i}(\xi) \quad (33)$$

Eine intuitive Interpretation von Formel 33 ist, dass gesamte Dichtefunktion von  $\tau$  als Summe der Dichtefunktionen der Einschränkungen von  $\tau$  auf die  $V_i$  gebildet werden kann.

Die Berechnung von  $\sigma$  hängt vom Verhältnis von  $m$  und  $n$  zueinander ab. Da in der vorliegenden Arbeit nur der Fall  $m = n = 3$  auftritt, beschränkt sich die weitere Eräuterung auf diesen Fall. Für  $m = n$  unterscheiden Bachthaler und Weiskopf folgende Fälle für  $V \subseteq \mathbb{R}^n$  [3, S. 1430]:

**Fall 1:  $\tau$  ist differenzierbar und ein Diffeomorphismus** Ein Diffeomorphismus ist eine bijektive, stetig differenzierbare Abbildung, deren Umkehrabbildung ebenfalls stetig differenzierbar ist. Wenn  $\tau$  ein Diffeomorphismus ist, lässt sich durch die Anwendung des Transformationssatzes von Integralen die Gleichung

$$\int_{\tau(V)} \sigma(\xi) d^{m=n} \xi = \int_V \sigma(\tau(x)) |\det(J_\tau)(x)| d^n x = \int_V s(x) d^n x \quad (34)$$

bilden, wobei  $J_\tau$  die Jacobimatrix von  $\tau$  ist. Da der Wert der Determinante der Jacobimatrix von der Position abhängig ist, wird der jeweilige Punkt  $x$  eingesetzt. Durch weitere Umformungen entsteht die Gleichung

$$\sigma(\xi) = \frac{s(\tau^{-1}(\xi))}{|\det(J_\tau)(\tau^{-1}(\xi))|} \quad (35)$$

Wie schon in [3 Grundlagen](#) erwähnt entspricht der Betrag der Determinanten der Jacobimatrix der Expandieren oder Schrumpfen der Funktion in der Nähe des jeweiligen Punktes. Wenn die Funktion expandiert nimmt also die Dichte ab, wenn sie schrumpft nimmt die Dichte zu.

**Fall 2:  $\tau$  ist differenzierbar und konstant über  $V$ ,  $V$  ist keine Nullmenge** Wenn  $\det(J_\tau) = 0$ , dann ist  $\tau$  kein Diffeomorphismus und  $\sigma$  kann nicht so wie in Fall 1 definiert werden. Das ist z.B. der Fall, wenn  $\tau$  Bereiche mit konstanten Werten enthält und führt dazu, dass ein Bereich aus  $\mathbb{R}^n$  auf einen einzelnen Punkt  $\xi$  abgebildet wird. Eine Möglichkeit die unendlich hohe Dichte an  $\xi$  darzustellen und dennoch die Gesamtmasse nicht zu verändern ist es, bei  $\xi$  ein Dirac-Delta einzufügen, das mit der Volumen aller konstanten Bereiche  $V_i \in V$ , die nach  $\xi$  abgebildet werden, skaliert wird:

$$\begin{aligned} \sigma(\xi) &= \sum_{V_i \in V} \delta(\xi - \tau(V_i)) \cdot \int_{V_i} s(x) d^n x \\ &= \sum_{V_i \in V} \delta(\xi - \tau(V_i)) \cdot \text{Vol}(V_i) \quad (\text{da } s(x) = 1) \end{aligned} \quad (36)$$

Aus den Eigenschaften des Dirac Deltas ergibt sich, dass die Masseerhaltung erfüllt ist:

$$\begin{aligned} \int_{\phi} \sigma(\xi) d^n \xi &= \sum_{V_i} \int_{\phi} \delta(\xi - \tau(V_i)) \cdot \text{Vol}(V_i) d^n \xi \\ &= \sum_{\forall V_i : \tau(V_i) \in \phi} \text{Vol}(V_i) \\ &= \int_{\tau^{-1}(\phi)} 1 d^n x \end{aligned} \quad (37)$$

Da  $s(x) = 1$  festgelegt ist, ist die Bedingung erfüllt. In [9b](#) ist ein Beispieldfall dafür angegeben. Die Dichte im überlappenden Bereich der beiden Dreiecke ist gleich der Summe der Dichte der einzelnen Dreiecke. Bei anderen Dichtefunktionen muss Formel [36](#) entsprechend angepasst werden.

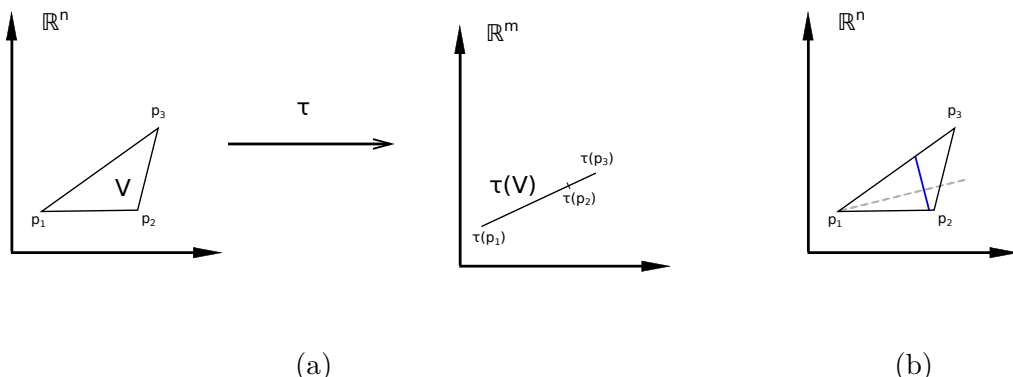


Abb. 10: Eine Darstellung den 5. Falls. (a) Alle drei Punkte des Dreiecks  $V$  im linken Koordinatensystem werden auf eine Gerade abgebildet. Dadurch ist  $\tau(V)$  eine Nullmenge. (b) Eine Darstellung des von Fritzsch vorgeschlagenen Ansatzes. Die graue, gestrichelte Linie entspricht dem Gradienten, die Länge der blauen Linie ist proportional zur Dichte.

**Fall 3:  $\tau$  ist differenzierbar und kein Diffeomorphismus,  $V$  ist Nullmenge** Ein weiterer Fall, in dem  $\det(J_\tau) = 0$  ist, tritt auf wenn  $V$  eine Nullmenge ist (also z.B. eine Linie im  $\mathbb{R}^3$ ). Da Integration über Nullmengen immer 0 ergibt, können die Nullmengen und ihr Bild bezüglich  $\tau$  einfach aus dem Scatterplotting entfernt werden, ohne die Masseerhaltung zu verletzen.

**Fall 4:  $\tau$  ist nicht differenzierbar** Wenn im Datensatz Unstetigkeiten auftreten, zum Beispiel zwischen Zellen, ist  $\tau$  an diesen nicht differenzierbar. Da die unstetigen Bereiche ebenfalls Nullmengen bilden, kann die gleiche Lösung wie in Fall 3 gewählt werden.

#### **Fall 5: $\tau$ ist differenzierbar und kein Diffeomorphismus, $V$ ist keine Nullmenge**

Von Bachthaler und Weiskopf wurde noch ein fünfter Fall genannt, den sie jedoch als nicht in der Praxis vorkommend ansahen. Fritzsch konnte jedoch Beispiele für diesen Fall angeben[12, S. 23 f.], die in der Praxis eine Rolle spielen. Dies tritt ein, wenn  $V$  keine Nullmenge ist, jedoch auf eine Nullmenge  $\tau(V)$  abgebildet wird (siehe Abb. 10a), also wenn entweder mindestens eine Komponente des Bildes konstant ist, oder eine funktionale Abhängigkeit zwischen mindestens zwei Komponenten existiert.

Die Jacobi Matrix enthält in diesem Fall mindestens eine Nullzeile, wodurch für ihren Rang gilt  $0 < \text{rang}(M) < m$ .

Fritzsch schlägt zur Lösung dieses Problems zwei Ansätze vor.

Der erste orientiert sich an Fall 2 und ordnet dem Bildbereich sehr hohe Dichten zu, um die Masseerhaltung zu gewährleisten.

Der zweite Ansatz ist nur für den Fall  $m = 2, n = 2$  beschrieben (somit muss  $\text{rang}(M) = 1$  sein). Er kann jedoch auch auf höhere Dimensionen übertragen werden. Ziel ist es, die Dichte an Punkten  $p \in \tau(V)$  proportional zur Gesamtmasse der darauf abgebildeten Punkte festzulegen. Dadurch wird zwar die Masseerhaltung nicht erfüllt, aber eine interpretierbare Darstellung erzeugt. Dazu werden zunächst die Gradienten für jede Komponente des Bildes von  $V$  berechnet. Die Größe der  $\dim(V) - \dim(\tau(V))$ -dimensionalen Teilmengen von  $V$ , die orthogonal zu den durch die Gradienten aufgespannten Räumen sind, ist gleich der Masse, die auf die einzelnen Punkte abgebildet wird. Ein Beispiel für den Fall  $\dim(V) = 2, \dim(\tau(V)) = 1$  ist in 10b zu sehen. Die Dichte an den Punkten von  $\tau(V)$  wird dann proportional zur Masse gewählt.

## 5 Umsetzung

In diesem Kapitel wird beschrieben, wie die Grundlagen, Technologien und Verfahren aus den vorherigen Kapiteln eingesetzt wurden, um eine interaktive Tensorfeldvisualisierung in FAnToM zu erzeugen.

Die Grundidee der entwickelten Visualisierung besteht darin, zwei DVRs zu erzeugen. Das erste stellt die Zellen des ursprünglichen Feldes dar, über die eine konstante Dichte angenommen wird. Da das Zielgebiet der Anwendung die Materialforschung ist, wird das ursprüngliche Feld im Folgenden als ‘Objekt’ bezeichnet. Für das zweite DVR werden die 3 Invarianten eines Invariantensatzes der an den Eckpunkten der Zellen definierten Tensoren berechnet und diese als Koordinaten interpretiert. Die Zellstruktur wird somit in einen ‘Invariantenraum’ überführt. Wegen der Popularität der K- und R-Invariantensätze werden die Koordinaten zusätzlich in ein zylindrisches Koordinatensystem überführt. Dieses Feld wird deshalb im folgenden als ‘Feld im Invariantenraum’ bezeichnet. Die Dichte in den Zellen der neuen Zellstruktur werden durch Methoden des Continuous Scatterplotting berechnet.

In die Darstellung des zylindrischen Invarianten DVRs werden außerdem noch Interaktionsflächen in Form von Kreissektoren eingezeichnet. Durch Interaktion mit der Maus können die Flächen verschoben sowie ihr Radius und die Winkel der beiden Kreisgradienten zur XY Ebene verändert werden. Mithilfe der Interaktionsflächen kann der Benutzer Bereiche von Invarianten auswählen. Alles, was außerhalb des ausgewählten Bereichs liegt, wird im zylindrischen DVR ausgeblendet. Auch in der Darstellung des Objekts werden alle Bereiche ausgeblendet, deren Invarianten außerhalb des gewählten Bereichs liegen.

Zusätzlich existieren weitere Optionen, durch die der Benutzer die Darstellungen an seine Problemstellung anpassen kann.

Das Verfahren zur Erzeugung der Darstellungen und Interaktionen ist im Folgenden näher erläutert.

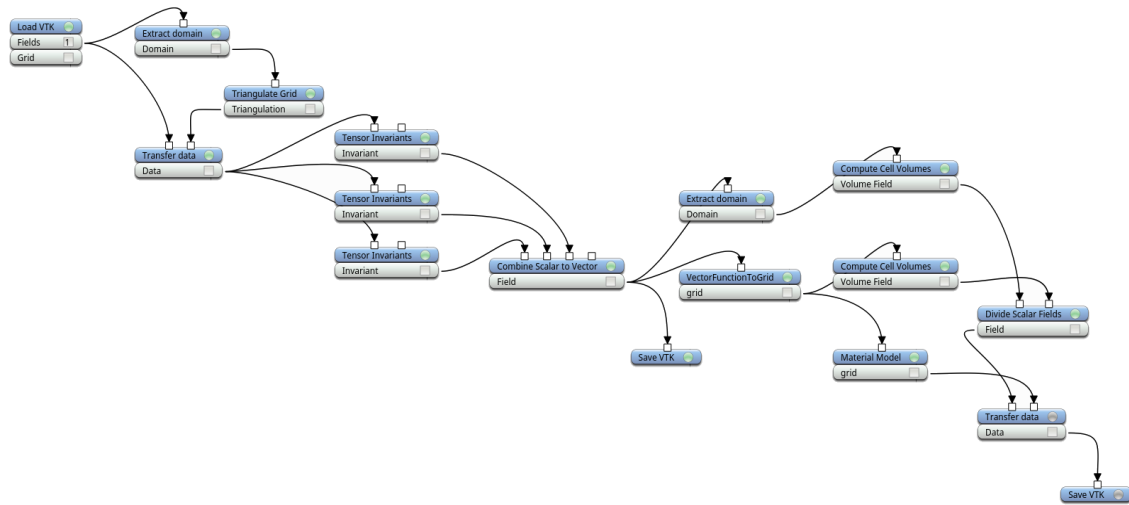


Abb. 11: Der Flowgraph der FAnToM Session, die zur Vorbereitung der Daten verwendet wird.

## 5.1 Datenvorbereitung

### 5.1.1 Die Vorbereitungssession

Bevor die Visualisierung beginnen kann, müssen die Daten vorbereitet werden. Um Zeit zu sparen, wird dieser Schritt für jeden Datensatz nur einmal durchgeführt, und die Ergebnisse abgespeichert. Die Vorbereitung geschieht durch eine Reihe von FAnToM Algorithmen, die im Folgenden beschrieben werden. Ein Screenshot der für die Datenvorbereitung verwendeten Session ist in Abb. 11 zu sehen. Die Algorithmen der Session werden im Folgenden erklärt.

Die verwendeten Eingabedaten liegen im VTK Format[2] vor. Daher lädt der erste Algorithmus ‘Load/VTK’ die VTK Dateien. Der Algorithmus ‘Extract Domain’ extrahiert die Zellstruktur, auf der das Tensorfeld definiert ist. Falls die Zellen keine Tetraeder sind, werden sie vom Algorithmus ‘Triangulate Grid’ in Tetraeder zerlegt. Dabei wird die Anzahl und die Position der Eckpunkte der Zellen nicht verändert. Die Tensoren an den Punkten des Objekts werden auf diese neue Zellstruktur durch den Algorithmus ‘Transfer Data’ kopiert.

Als nächstes werden die Invarianten der Tensoren berechnet. Da die Datensätze aus  $3 \times 3$  Matrizen bestehen, enthalten die zugehörigen Invariantensätze jeweils 3 Invarianten. Dazu werden 3 Instanzen des Algorithmus ‘Tensor Invariants’ verwendet, von denen jeder ein Skalarfeld auf derselben Tetraederzellstruktur berechnet, dessen Werte die Invarianten der Tensoren an den Eckpunkten sind. Für jeden Algorithmus kann eine eigene Invariante aus den genannten Invariantensätzen ausgewählt werden. Die drei Skalarfelder werden von ‘Combine Scalar to Vector’ zu einem Vektorfeld kombiniert, dessen Komponenten den Werten der Skalare entspricht. Eine Kopie des Vektorfeldes wird direkt als VTK

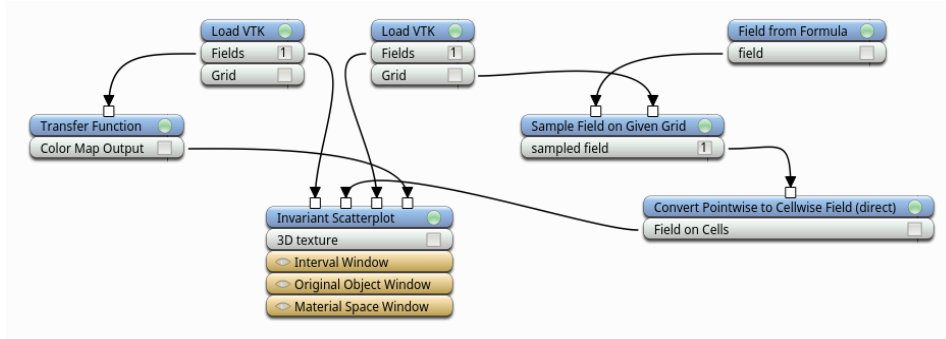


Abb. 12: Der Flowgraph der Visualisierungssession.

Datei abgespeichert. Dies ist das erste von zwei Feldern, die als Eingabe der eigentlichen Visualisierung verwendet wird.

Durch den Algorithmus ‘Cylindric Coordinates’ werden die Werte des Vektorfeldes als Koordinaten von Punkten in einem zylindrischen Koordinatensystems aufgefasst. Ein Punkt ist durch die drei Komponenten des Vektors dann wie folgt beschrieben: Die erste Komponente wird als X-Koordinate interpretiert, die zweite Komponente als minimaler Abstand zwischen dem Punkt und der X-Achse und die dritte als Winkel zwischen dem kürzesten Liniensegment, das die X-Achse mit dem Punkt verbindet, und der XY-Ebene. Die letzte Komponente wird dabei auf das Intervall  $[-1, \dots, 1]$  normiert, wobei -1 ein Liniensegment in negative Y Richtung beschreibt, 0 ein Liniensegment in positive Z Richtung und 1 ein Liniensegment in positive Y Richtung. Aus diesen neuen Punkten werden Tetraederzellen äquivalent zum Eingabefeld definiert. Die Ausgabe entspricht also der Zellstruktur der Eingabe, in der alle Punkte auf die neuen Koordinaten ‘verschoben’ wurden.

Im nächsten Schritt wird das Volumen der Zellen des Objekts und der neu erzeugten Zellstruktur berechnet (‘Compute Cell Volumes’). Es entstehen zwei Skalarfelder, die den Zellen ein Volumen zuordnen. Die Skalarfelder werden elementweise durcheinander geteilt (Original geteilt durch verschobenes Feld, ‘Divide Scalar Fields’). Das Ergebnis ist wiederum ein Skalarfeld, das  $\sigma_V$  der Zellen für das Continuous Scatterplotting approximiert. Die Herangehensweise wird in Abschnitt 5.3 genauer erklärt und begründet.

Zum Schluss wird das Quotientenfeld auf die verschobene Zellstruktur zellenweise übertragen und das Ergebnis abgespeichert, um als zweite Eingabe der Visualisierung zu dienen.

### 5.1.2 Die Visualisierungssession

Zwei Teile der Datenvorbereitung müssen in der gleichen Session stattfinden wie die Visualisierung selbst, um dem Anwender die Möglichkeit der Interaktion zu geben. Das

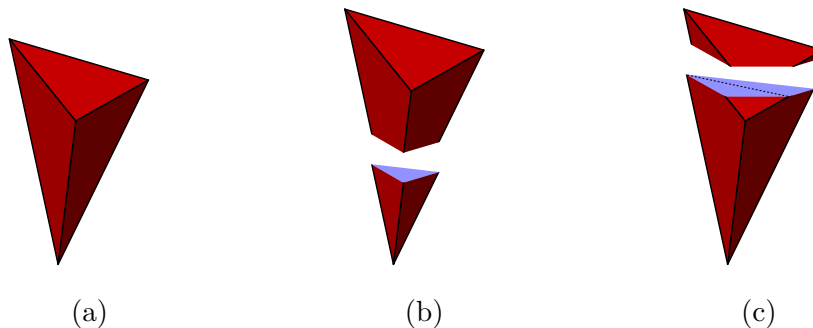


Abb. 13: Darstellungen von möglichen Schnitten durch einen Tetraeder. (a) Der Tetraeder ohne Schnitte. (b) Ein Schnitt, der durch ein einzelnes Dreieck dargestellt werden kann. (b) Ein Schnitt, der ein Viereck bildet. Die gestrichelte Linie deutet eine mögliche Unterteilung in Dreiecke an.

sind zum einen die Erzeugung der Transferfunktion, zum anderen die Berechnung der Dichte innerhalb der Voxel im Objekt. Die Session ist in Abb. 12 zu sehen.

Der linke ‘VTK Load’ Algorithmus lädt dabei das skalare Dichtefeld im Invariantenraum, der rechte das Vektorfeld auf den ursprünglichen Punkten, in dem die Invarianten gespeichert sind. Vom Algorithmus ‘Transfer Function’ wird eine Transferfunktion für das Feld im Invariantenraum erzeugt. Wie in Abb. 4 beschrieben, ist diese vom Benutzer frei konfigurierbar und wird in Echtzeit auf die Darstellung angewendet. Die Dichten der Voxel im Objekt wird durch eine Funktion bestimmt, die in den Algorithmus ‘Field from Formula’ eingegeben wird (standardmäßig konstant 1). Die geladenen VTK Dateien, die Transferfunktion und die neuen Voxeldichten werden am Ende dem Visualisierungsalgorithmus übergeben.

## 5.2 Voxelisierung

Da das in dieser Arbeit verwendete DVR Verfahren (siehe Abschnitt 5.5) eine Repräsentation der Dichtefelder als 3D Texturen voraussetzt, müssen diese Texturen zunächst erzeugt werden. Eine 2D Textur kann im Allgemeinen als Tabelle aufgefasst werden, in der Farbwerte codiert sind. 3D Texturen setzen sich aus vielen 2D Texturen zusammen, deren Felder die Eigenschaften von Voxeln einer Schicht der 3D Textur beschreiben.

OpenGL stellt verschiedene Optionen für Farbcodierung zur Auswahl, womit Speicherbedarf und Präzision eingestellt werden können. Für die vorliegende Arbeit wurde ‘GL\_RGBA16’ gewählt, die 4 Werte mit jeweils 16 Bit Präzision zur Verfügung stellt. Üblicherweise wird in einem Feld der Tabelle die Werte für den roten, grünen und blauen Anteil der Farbe sowie die Transparenz (‘Alpha’) an dieser Stelle codiert. Das DVR Verfahren interpretiert diese Werte jedoch anders: Der Alphawert entspricht der Dichte und die restlichen drei Farbwerte den interpolierten Invarianten der Zelle, in der das

Voxel liegt. Die Invarianten spielen allerdings nur bei der Visualisierung des Objekts eine Rolle, weshalb diese Werte ansonsten leer gelassen werden.

Um die Textur zu erzeugen, ist es notwendig, die korrekten Werte für die Voxel zu berechnen, und das Ergebnis an die Grafikkarte zu übergeben. Dies wird als Voxelisierung bezeichnet. FAnToM besitzt zwar eine effiziente Funktion, um Werte innerhalb eines Feldes zu berechnen, diese ist jedoch nicht in der Lage, mit selbstdurchdringenden Feldern, wie sie bei der Überführung in den Invariantenraum entstehen können, umzugehen. Es war deshalb notwendig, eine effiziente Methode zur Erzeugung der 3D Texturen zu implementieren.

Aufgrund der leichten Parallelisierbarkeit bot es sich an, die Voxelisierung durch OpenGL und somit auf der Grafikkarte durchführen zu lassen. Das Verfahren basiert auf der Arbeit von Rueda et al.[\[21\]](#). Dabei werden Schichten der 3D Textur berechnet, indem die Schnittflächen zwischen den Tetraedern und Ebenen berechnet. Die Ebenen verlaufen dabei durch die Mittelpunkte der Voxel einer Schicht der Textur. Da der Schnitt zwischen einer Ebene und einem Tetraeder immer entweder ein Dreieck oder ein Viereck ist, kann es als Folge von einem oder zwei Dreiecken ('Triangle Strip') dargestellt werden (siehe Abb. [13](#)). Diese Dreiecke wiederum werden durch den standardmäßigen Rasterisierer von OpenGL in die fertigen Voxel unterteilt. Das komplette Verfahren ist in Form einer Shaderpipeline implementiert, die im Folgenden kurz erläutert wird. Falls der Shader nicht-triviale Algorithmen enthält, ist zusätzlich Pseudocode angegeben.

Die Eingabe des Vertex Shaders besteht aus den Punkten der Tetraeder, ihren jeweiligen Dichten und optional den an den Punkten berechneten Invarianten. OpenGL lässt allerdings in den von FAnToM unterstützten Versionen keine Tetraeder als Eingabe zu. Deshalb müssen diese auf eine andere Art übergeben werden. Eine Möglichkeit dazu sind Liniensegmente mit Nachbarschaft ('GL\_LINES\_ADJACENCY\_EXT'). Das Format von Liniensegmenten mit Nachbarschaft besteht aus vier Punkten pro Primitiv: Der erste Punkt entspricht dem Beginn des vorhergehenden Liniensegments, der zweite und dritte Punkt entsprechen dem aktuellen Liniensegment und der vierte Punkt ist der Endpunkt des nächsten Liniensegments. Da es immer genau 4 Punkte pro Primitiv sind, eignet es sich jedoch auch, um Tetraeder an die Pipeline zu übergeben.

Da die zylindrische Darstellung in Richtung der X-Achse sehr groß werden kann, ist ein Verfahren implementiert, das das Feld entlang der X-Achse unterteilt und in mehrere einzelne Texturen voxelisiert. Dasselbe Verfahren kann theoretisch auch für die anderen Richtungen implementiert werden, das war jedoch für keinem der verwendeten Datensätze nötig.

Wie schon im Abschnitt [4.2](#) angesprochen, ist es möglich, die Ausgabe der Renderpipeline in eine Textur zu speichern. Dazu wird ein 'Framebuffer' verwendet, der Schichten der 3D Textur als Ausgabe der Pipeline bindet. Die Voxelisierung wird also für jede Schicht einzeln durchgeführt.

Die Anzahl an Voxeln pro Dimension in der 3D Textur kann vom Benutzer selbst festgelegt werden. Falls in Richtung der X-Achse ein Wert über 2048 gewählt wird, werden mehrere

Texturen erzeugt. 2048 ist die in der von FAnToM verwendeten OpenGL Version die maximale maximale Ausdehung einer 3D Textur in jede Richtung.

**Vertex Shader** Der Vertex Shader bekommt als Eingabe die Eckpunkte der Tetraeder, codiert in Form von Liniensegmenten mit Nachbarschaft. Falls das Feld in mehrere Texturen voxelisiert werden soll, wird eine Verschiebung und Skalierung durchgeführt, um nur die korrekten Tetraeder zu voxelisieren. Dichten und Invarianten werden als Variablen an den nächsten Teil der Shaderpipeline weitergegeben.

**Geometry Shader** Die von FAnToM unterstützte OpenGL Version unterstützt standardmäßig keine Geometry Shader. Mithilfe einer Erweiterung kann das jedoch umgangen werden.

Der Geometry Shader bekommt als Eingabe alle Punkte eines Primitivs und die vom Vertex Shader übergebenen Variablen für diese Punkte. Ziel des Geometry Shaders ist es, die Tetraeder mit Ebenen, die parallel zur XY-Ebene verlaufen, zu schneiden und die Schnittflächen als Dreiecke zurück in die Renderpipeline zu übergeben.

Dazu berechnet der Geometry Shader zunächst die Schnittpunkte der Tetraederkanten mit der Ebene. Wenn mindestens drei Schnittpunkte existieren, werden daraus Dreiecke konstruiert und weitergegeben. Wenn vier Schnittpunkte gefunden wurden, müssen sie zuvor noch nach ihrer Position im Raum geordnet werden, um leicht zwei überlappungsfreie Dreiecke konstruieren zu können. In Pseudocode 1 wird das Verfahren dargestellt.

```

Data:  $p_i$  Eckpunkte des Tetraeders,  $z$  Parameter der Schnittebene
Result: Schnittfläche zwischen Tetraeder und Schnittebene
schnittZahl  $\leftarrow 0$ ;
schnittPunkte  $\leftarrow []$ ;
for  $\forall(p_m, p_n), n < m$ ; // Für jede Kante des Tetraeders
  do
     $p \leftarrow$  schnittpunktBerechnen( $z, p_m, p_n$ );
    if  $p$  liegt zwischen  $p_m, p_n$  then
      | schnittPunkte[schnittZahl]  $\leftarrow p$ ;
      | schnittZahl++;
    end
  end
if schnittZahl == 4 then
  | sortieren(schnittPunkte);
end
erzeugeDreiecke(schnittPunkte);

```

**Algorithmus 1:** Die Berechnung der Tetraederschnittflächen im Geometry Shader.

**Fragment Shader** Der Fragment Shader normalisiert die Invarianten auf das Intervall  $[0, \dots, 1]$ , wobei 0 dem niedrigsten und 1 dem höchsten vorkommenden Wert entspricht. Damit wird sichergestellt, dass die Invarianten mit maximal möglicher Präzision in der Textur gespeichert werden.

Zudem wird die Dichte der Voxel modifiziert. Zum einen wird sie mit einem vom Nutzer gewählten Faktor (standardmäßig 1) multipliziert. Zum anderen wird, wenn vom Benutzer ausgewählt, die dritte Wurzel der Dichte berechnet. Dies hat sich als sinnvoll erwiesen, da in den verwendeten Datensätzen große Unterschiede in der Dichte der Voxel auftreten, teilweise mehr als 10 Größenordnungen. Durch das Ziehen der dritten Wurzel nähern sich die Werte weiter an die 1 an. Da die Dichtewerte nicht direkt abgelesen werden müssen, stellt das auch kein Problem dar.

Durch den Fragment Shader werden im Invariantenraum mehrere der erzeugten Dreiecke auf dieselben Voxel abgebildet. Die Kombination der Werte pro Voxel erfolgt durch eine von OpenGL bereitgestellten Funktion, dem ‘Blending’. Im Objekt kann dies nicht vorkommen, weshalb die Invariantenwerte in der Textur davon nicht betroffen sind. Durch das Blending wird  $\sigma_{V_i}$  für jeden Tetraeder  $V_i$  berechnet und korrekt pro Voxel aufaddiert. Damit ist die zweite Hälfte des Continuous Scatterplotting implementiert.

### 5.3 Umsetzung des Continuous Scatterplotting

Die beiden beschriebenen Verfahren implementieren gemeinsam ein vollständiges Continuous Scatterplotting. Dies wird in diesem Abschnitt genauer begründet.

Der erste Teil, das Berechnen des Dichtebeitrags  $\sigma_{V_i}$  der Tetraeder  $V_i$ , erfolgt bereits in der Vorverarbeitung der Daten. Dabei wird die für Fall 1 angegebene Formel 35 verwendet. Die anderen Fälle können zwar theoretisch vorkommen, sind jedoch extrem unwahrscheinlich. Durch unvermeidbare Rundungsfehler werden Bereiche konstanter Invarianten (Fall 2), Nullmengen (Fall 3) und Abbildungen auf Teilräume mit geringerer Dimension (Fall 5) zerstört. Das Erkennen von diesen Rundungsfehlern wird dadurch erschwert, dass in den verwendeten Datensätzen tatsächlich Bereiche mit sehr geringen Veränderungen der Invarianten oder Abbildungen auf sehr flache Tetraeder vorkommen. Die Unterscheidung solcher extremen Formen von Fall 1 zu den anderen Fällen ist nicht ohne weiteres möglich. Fall 4 kommt nicht vor, da die verwendeten Felder überall differenzierbar sind.

Da die  $V_i$  eine vollständige Zerlegung des Feldes darstellen, lässt sich Formel 33 anwenden. Die  $\sigma_V$  entsprechen den berechneten Dichtewerten pro Tetraeder, die für jedes Voxel durch das Blending aufaddiert werden.

### 5.4 Berechnung der maximalen Dichte

Da Texturen nur Werte im Intervall  $[0, \dots, 1]$  enthalten können, aber vor der fertiggestellten Voxelisierung die maximale Dichte in der 3D Textur nicht bestimmt werden kann,

muss ein Verfahren implementiert werden, um das korrekte Maximum zu berechnen.

Zunächst wird die höchste, überhaupt mögliche Dichte in einem Voxel berechnet. Diese kommt genau dann vor, wenn alle Tetraeder  $V_i, i = 1, \dots, n$  sich in einem Voxel überschneiden. Somit entspricht sie der Summe der Dichten aller Tetraeder. Danach wird die Voxelisierung einmal ausgeführt, wobei jeder Dichtewert durch die größte mögliche Dichte geteilt und somit auf das Intervall  $[0, \dots, 1]$  normalisiert wird.

Als nächstes wird das Maximum der entstandenen 3D Textur gesucht. Da die 3D Textur relativ groß werden kann (bis zu mehreren Gigabyte), die Übertragung von Daten von der Grafikkarte zum Arbeitsspeicher relativ langsam ist und das Finden des Maximums gut parallelisiert werden kann, wurde auch dieses Problem durch eine Shaderpipeline gelöst.

Indem das Maximum (ein Wert zwischen 0 und 1) mit dem größten möglichen Wert multipliziert wird, erhält man das korrekte Maximum. Dies kann verwendet werden, um die Werte einer weiteren Voxelisierung zu normalisieren. Dadurch wird die Präzision in der 3D Textur erhöht.

Die Eingabe der Shaderpipeline ist die 3D Textur sowie eine Linie zwischen den Punkten  $(-1.0, 0.0, 0.0)$  und  $(1.0, 0.0, 0.0)$ . Berechnet wird eine Darstellung der Linie aus  $Z$  Pixeln, wobei  $Z$  die Anzahl an Schichten der 3D Textur ist. Der Wert jedes Pixels entspricht dem Maximum der jeweiligen Schicht. Durch Verwendung eines Framebuffers wird das Ergebnis in eine Textur gerendert, die erheblich wenige Speicherplatz verbraucht als die 3D Textur. Diese wird zurück in den Arbeitsspeicher geladen und das Maximum durch linearen Durchlauf gefunden.

**Vertex Shader** Der Vertex Shader ordnet  $(-1.0, 0.0, 0.0)$  den Wert 0 und  $(1.0, 0.0, 0.0)$  den Wert 1 zu und gibt diese Werte an den Fragment Shader weiter.

**Fragment Shader** Für jedes Fragment werden die interpolierten Werte aus dem Vertex Shader berechnet. Dieser Wert entspricht der Schicht, deren Maximum berechnet werden soll. Danach wird über alle Voxel dieser Schicht iteriert, und das Maximum der Schicht zurückgegeben. Der Algorithmus ist in 2 dargestellt.

## 5.5 Umsetzung des Raycastings

Für die beiden DVR Darstellungen wird eine Variante des schon in 4.4.1 beschriebenen Verfahrens verwendet. Dies geschieht wiederum in Form einer Shaderpipeline.

Die Eingabe der Pipeline ist die vorberechnete 3D Textur und ein Rechteck bestehend aus zwei Dreiecken. Das Rechteck entspricht Bildebene in Abb. 6. Die Bildebene befindet sich so vor der Kamera, dass sie das gesamte Blickfeld einnimmt. Das Raycasting wird durchgeführt, indem die Shader die Farben auf der Bildebene berechnen.

**Data:**  $T$  3D Textur,  $z$  interpolierte z-Koordinate der Schicht,  
 $x_{max}, y_{max}$  Ausdehung der Schicht in x und y Richtung

**Result:** Maximum der Schicht

```

max ← 0;
for x ← 0 to xmax do
    for y ← 0 to ymax do
        p ← punktAnKoordinaten( $\frac{x}{x_{max}}$ ,  $\frac{y}{y_{max}}$ , z)
        voxelDichte = texturwertAnPunkt(T, p)
        max = maximum(max, voxelDichte)
    end
end
return max;
```

**Algorithmus 2:** Die Bestimmung der Maxima aller Schichten im Fragment Shader.

Der Code basiert auf dem Algorithmus ‘Volume Rendererer GLSL’, erweitert diesen aber deutlich.

**Vertex Shader** Im Vertex Shader werden lediglich die X- und Y-Koordinaten der Punkte in einer Variable gespeichert und an den Fragment Shader übergeben.

**Fragment Shader** Die ‘Model-View-Projection Matrix’, kurz MVP, ist eine Matrix, die die Abbildung von Punkten im Raum auf die Bildebene ausdrückt. Dazu gehören Translationen und Rotationen der Szene sowie die perspektivische Projektion von 3D zu 2D. Mithilfe des inversen der MVP lässt sich für jeden Punkt auf der Bildebene ein Strahl konstruieren, der diesen Punkt und die Kameraposition schneidet.

Danach wird der Schnitt zwischen den die 3D Textur begrenzenden, achsenparallelen Ebenen (der ‘Bounding Box’, kurz BB) und diesem Strahl berechnet. Abhängig davon, welche Ebenen der Strahl in welcher Reihenfolge geschnitten, kann effizient bestimmt werden, ob die 3D Textur vom Strahl durchquert wird oder nicht. Falls nicht, kann sofort schwarz als Farbe des Fragments zurückgegeben werden.

Falls der Strahl die 3D Textur schneidet, wird der Abstand der Samplepunkte berechnet. Dem Benutzer steht dabei frei, welche der beiden in Abschnitt 6 beschriebenen Varianten er bevorzugt.

Um Artefakte zu verhindern, kann ebenfalls optional ein pseudo-zufälliger Offset erzeugt werden, der die Position des ersten Samplepunkts beeinflusst.

Die eigentliche Berechnung der Fragmentfarbe geschieht in einer Schleife. Für jeden Samplepunkt entlang des Strahls wird die Dichte an diesem Punkt gemessen, durch die Transferfunktion in Farbe und Transparenz übersetzt und nach Formel 27 zu einem Farbwert kombiniert.

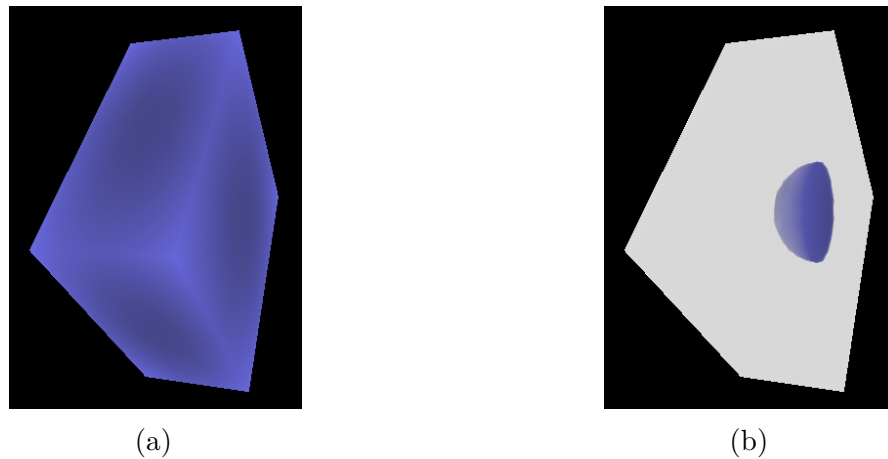


Abb. 14: Ergebnisse des Raycastings auf einem quaderförmigen Feld von  $3 \times 3$  Matrizen. In (a) ist der gesamte Invariantenbereich ausgewählt, in (b) ist er auf hohe Werte begrenzt. Zu beachten ist, dass in (a) die Farben von Punkten näher am Zentrum des Feldes dunkler und in (b) die ausgeblendeten Bereiche als stark transparent und weiß dargestellt werden.

Auch die bereits angesprochenen Optimierungen (Samplepunkte beginnen erst am Rand der 3D Textur, Abbruch nachdem verbleibende Transparenz Grenzwert unterschreitet) sind implementiert.

Wenn beim Rendering des Feldes im Invariantenraum der ein Samplepunkt ausserhalb des ausgewählten Bereichs liegen, wird dort die Farbe und Dichte als 0 angenommen. Wenn dagegen beim Rendern des Objekts ein Samplepunkt an einer Stelle liegt, an der die Invarianten ausserhalb des Bereichs liegen, wird ein stark transparentes Weiß als Farbe festgelegt. Dadurch entsteht ein Schemen des restlichen Objektes, wodurch die Position und Form der noch sichtbaren Bereiche besser einschätzbar wird. Dieser Effekt ist in Abb. 14 zu sehen. Der Pseudocode in Algorithmus 3 beschreibt die Funktionsweise der Schleife.

Um die Tiefenwahrnehmung zu verbessern werden zusätzlich Farben an Punkten, die näher am Zentrum des Objekts liegen, als dunkler angezeigt als die an weiter vom Zentrum entfernten Punkten (siehe Abb. 14a). Dadurch sind Löcher im Volumen leichter zu erkennen, ohne Lichtquellen und Schattenbildung berechnen zu müssen.

## 5.6 Die Interaktionsflächen

Um in der Darstellung des Feldes im Invariantenraum Bereiche ausählen zu können, wurden Interaktionflächen implementiert. Diese haben die Form von Halbkreisen, und können durch die Maus manipuliert werden. Durch Klicken und Halten der mittleren Maustaste können untere und obere Schranken der Invariantenbereiche ausgewählt und

**Data:**  $s$  Strahlvektor der Länge 1,  $t$  Schrittweite,  
 $T$  3D Textur,  $p_0$  erster Samplepunkt,  $B$  ausgewählter Invariantenbereich

**Result:** akkumulierte Farbe entlang des Strahls

```

transparenz ← 1.0;
fragmentfarbe ← (0, 0, 0, 0);
for  $i \leftarrow 0$  to  $n$  do
    if transparenz < grenzwert then
        | break;
    end
    invarianten ← invarianten( $T, p$ );
    dichte ← dichte( $T, p$ );
    // Nur im Objekt
    if invariantennichtinB then
        | fragmentFarbe ← fragmentFarbe + (1.0, 1.0, 1.0, 0.05);
        | transparenz = transparenz - 0.05;
        | continue;
    end
    // Nur im Invariantenraum
    if pnichtinB then
        | continue;
    end
    voxelFarbe ← transferfkt(dichte);
    fragmentFarbe ← fragmentFarbe + voxelFarbe · transparenz;
    transparenz = transparenz - voxelFarbe.transparenz;
end
```

**Algorithmus 3:** Die Berechnung der akkumulierten Farbe eines Strahls durch die 3D Textur.

durch Bewegung der Maus ihre Werte verändert werden. Eine Interaktionsfläche ist in Abb. 15a dargestellt.

Die Berechnung, ob ein Mausklick eine Interaktionsfläche trifft oder nicht, geschieht mittels ‘Ray-Picking’. Dabei wird, ähnlich wie beim Raycasting, ein Strahl ausgehend von der Kamera durch die Szene berechnet. Wenn der Strahl eine Interaktionsfläche trifft, wird der getroffene Bereich ausgewählt. Wenn beide Interaktionsflächen getroffen werden, wird die nähere von beiden bevorzugt.

Wenn, nachdem ein Bereich ausgewählt wurde, die Maus bewegt wird, passen die Interaktionsflächen ihre Position entsprechend an. Wenn die 1. Invariante gewählt wurde, wird die Interaktionsfläche entlang der X-Achse verschoben. Abhängig davon welche Interaktionsfläche ausgewählt wurde, wird dadurch das Minimum oder Maximum der ersten Invariante gewählt. Die Bereiche können auf einer einzelnen Interaktionsfläche eingestellt werden. Die Form der zweiten wird automatisch angepasst. Die Veränderungen

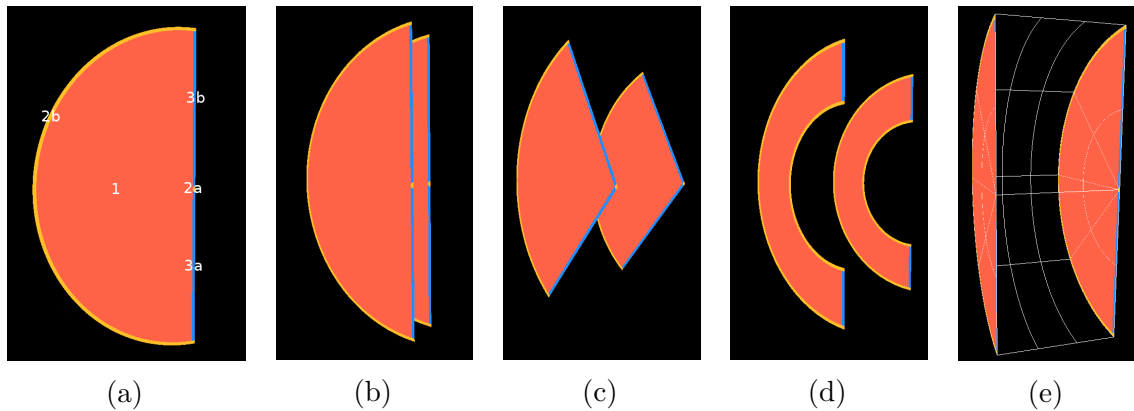


Abb. 15: Die Darstellungen der Interaktionsflächen. (a) Eine Interaktionsfläche mit den einzelnen Bereichen. Ein Klick auf die Bereiche 1,2 und 3 wählen die jeweiligen Invarianten aus. Die Bereiche 2a und 3a sind dabei die Minima der Invariante, 2b und 3b die Maxima. (b) bis (d) zeigen veränderte Positionen und Formen der Interaktionsflächen durch gewählte Invariantenbereiche. In (e) ist der Wireframe dargestellt.

der Formen und Positionen sind in Abb. 15b, 15c und 15d dargestellt.

## 5.7 Weitere Interaktionen

Es existieren noch eine Reihe weiterer Interaktionen, die auf der Visualisierung durchgeführt werden können:

**Rotation des DVR** Indem die linke Maustaste gedrückt und gehalten wird, kann durch die Bewegung der Maus die Visualisierung um das aktuelle Rotationszentrum gedreht werden.

**Bewegung der Kameraposition** Ähnlich wie bei der Rotation der Szene, kann durch Drücken und Halten der rechten Maustaste die Kameraposition mittels Bewegung der Maus innerhalb der Szene verschoben werden.

**Setzen des Rotationszentrums** Das Rotationszentrum des Invariantenfeldes kann mittels doppeltem Linksklick an einen Punkt entlang der X-Achse gesetzt werden.

**Zurücksetzen von Rotation und Kameraposition** Durch Drücken der ‘c’-Taste wird die Kameraposition und die Rotation des Feldes zurückgesetzt.

**Zurücksetzen der Invariantenbereiche** Die Schranken des ausgewählten Invariantenbereichs können durch Drücken der ‘r’-Taste zurückgesetzt werden.

## 5.8 Optionen des Algorithmus

Der Visualisierungsalgorithmus bietet eine Reihe von Optionen an, durch die beide DVR Darstellungen angepasst werden können. Die Optionen gliedern sich dabei auf in solche, die für beide Darstellungen existieren und solche, die nur für eine von beiden vorhanden sind.

### 5.8.1 Gemeinsame Optionen

**Anzahl von Samplingpunkten** Die Anzahl der Samplepunkte pro Strahl kann für beide Darstellungen unabhängig voneinander mittels eines Textfeldes gewählt werden.

**Jittering** Um visuelle Artefakte zu verringern, kann durch eine Option ein pseudozufälliger Offset vor dem ersten Samplepunkt gesetzt berechnet werden.

**Helligkeit** Ein Slider ermöglicht die Einstellung der Helligkeit des Volume Renderings unabhängig von der Transferfunktion.

**Dichte** Durch einen weiteren Slider kann ein Faktor festgelegt werden, mit dem die Dichte der Voxel multipliziert wird. Alternativ existiert dafür auch ein Textfeld, falls exakte Werte oder Werte ausserhalb der Reichweite des Sliders benötigt werden.

**Offset** Der dritte Slider legt einen Grenzwert für die Dichtewerte fest. Bereiche, deren Dichte unterhalb dieses Grenzwerts liegt, werden als komplett transparent angenommen.

**Lineare Interpolation** Standardmäßig misst das Sampling die Dichtewerte der Textur an diesem Punkt. Da die Texur durch Rasterisierung entstanden ist, kann dies zu visuellen Artefakten führen, die die Darstellung ‘blockig’ erscheinen lassen. Durch eine Option kann für lineare Interpolation verwendet werden, um die Dichte an einem Punkt zu bestimmen. Dabei wird neben der Dichte des Voxels selbst auch die Dichte der angrenzenden Voxel verwendet, und zwischen diesen der Wert für den Punkt interpoliert.

**Skalierung der Transparenz mit der Anzahl der Samplepunkte im Feld** Diese Option macht es möglich, die im Abschnitt 4.4.1 und Abb. 5.5 erläuterte Skalierung der Transparenz mit der Anzahl der Samplepunkte, die tatsächlich im Feld liegen, an- und auszuschalten.

**Anzahl der Voxel in X/Y/Z Richtung** Die Anzahl der Voxel, in die das Feld voxelisiert werden soll, kann für die einzelnen Dimensionen eingestellt werden. Höhere Werte führen zu einer besseren Darstellung kleiner Tetraeder, erhöhen jedoch die Rechenzeit und den benötigten Speicher.

### 5.8.2 Optionen des Objektrenderings

**Bounding Box** Um die Größe und Form des Objekts besser einschätzbar zu machen, können weiße Linien an den Kanten der begrenzenden Flächen eingezeichnet werden, also eine ‘Bounding Box’ dargestellt werden.

## 5.9 Optionen des Invariantenraumrenderings

**Wireframe** Optional kann ein ‘Wireframe’ angezeigt werden, ein Liniengitter das das Feld begrenzt. Die Position der Linien macht es einfacher, die ausgewählten Bereiche einzuschätzen. Die Form und Position des Wireframes sind nicht abhängig vom ausgewählten Invariantenbereich. Der Wireframe ist in Abb. 15e zu sehen.

**Koordinatenlabels** Um die Invariantenbereiche mit der Maus besser einstellen zu können, ist es optional möglich, die Werte der Schranken an den Interaktionsflächen anzugeben.

**Interaktionsflächen ausblenden** Da die Interaktionsflächen einen großen Teil des Objekts verdecken können, ist es möglich, diese auszublenden. Während sie ausgeblendet sind, ist keine Interaktion mit ihnen möglich, die Invariantenbereiche können also nicht mit der Maus verändert werden.

**Wurzel skalierung** Die im Fragment Shader der Voxelisierung durchgeführte Skalierung, indem die dritte Wurzel gezogen wird, kann an- und ausgeschaltet werden.

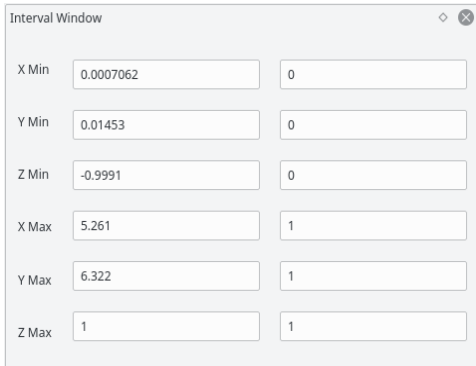


Abb. 16: Das Intervall-Fenster.

**Normalisierung des Feldes** Weil das Feld im Invariantenraum beliebige Formen annehmen kann, zum Beispiel flache Zylinder oder schmale Zylinderausschnitte, kann es sinnvoll sein, die Positionen auf einen festen Halbzylinder zu skalieren um leeren Raum zu vermeiden und sehr kleine Tetraeder besser sichtbar zu machen. Dies ist durch eine Option möglich. Dabei werden die Minima und Maxima in allen drei Dimensionen berechnet und das Feld auf so skaliert, dass es die Form eines Halbzylinders mit einer festen Höhe von 1 annimmt.

## 5.10 Das Intervallfenster

Um die Invariantenbereiche auf exakte Werte einstellen zu können, existiert ein weiteres Fenster (siehe Abb. 16). Darin sind die sechs Invariantenschränke tabellarisch angegeben. Das linke Textfeld gibt den absoluten, das rechte den relativen Wert im Intervall  $[0, \dots 1]$  an. Alle Textfelder sind editierbar und Änderungen werden direkt auf die DVRs angewendet.

# 6 Ergebnisse

Die Visualisierung wurde auf eine Reihe von Testdatensätzen angewendet, um die Korrektheit und Qualität der Darstellung zu bewerten. In diesem Abschnitt werden die Datensätze vorgestellt, die Ergebnisse der Visualisierungen gezeigt und mögliche Interpretationen vorgestellt.

Als Vergleichsdarstellung, und um eine Vorstellung über die Struktur der Datensätze zu vermitteln, wurde für jeden Datensatz eine Visualisierung der Tensoren als Ellipsoide erzeugt. Die Ellipsoide werden abhängig von den Eigenwerten des jeweiligen Tensors unterschiedlich dargestellt. Die Länge der Achsen eines Ellipsoids entspricht den Eigenwerten und die längste Achse zeigt in Richtung des dazugehörigen Eigenvektors.

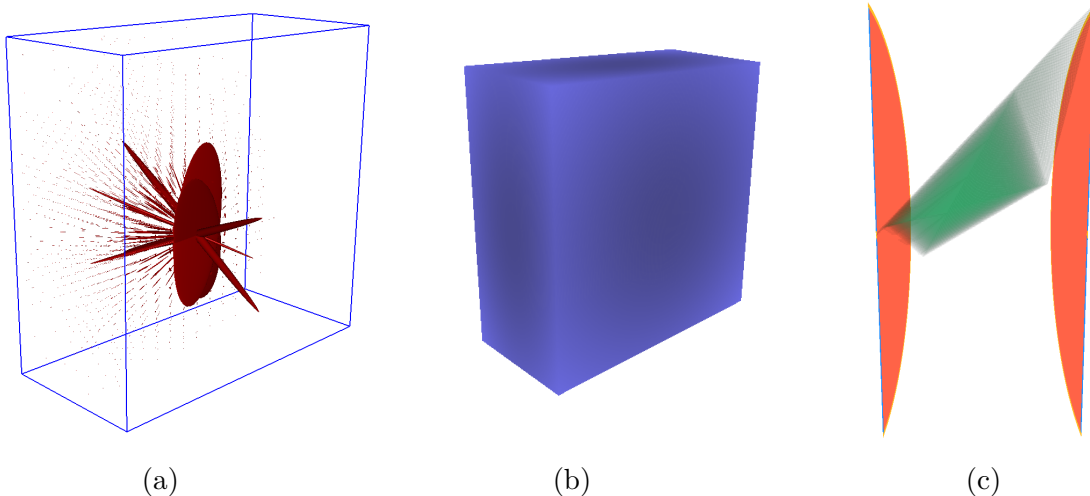


Abb. 17: Darstellung des Single Point Load Datensatzes: (a) als Ellipsoide, (b) als DVR des Objekts und (c) im Invariantenraum, berechnet mit den K-Invarianten.

## 6.1 Single Point Load

Der erste Testdatensatz ist ein von FAnToM erzeugtes Tensorfeld. Dabei wird simuliert, dass auf einen unendlichen Halbraum an einem Punkt eine Kraft einwirkt. Die entstehende mechanische Spannung wird an Punkten innerhalb des Objekts gemessen und die Tensoren in Form von  $3 \times 3$  Matrizen gespeichert. Darstellungen des Datensatzes sind in ?? zu sehen. Der Punkt, an dem die Kraft einwirkt ist im der linken Hälfte der vorderen, quadratischen Seite.

Abb. 17a zeigt eine Darstellung der Tensoren als Ellipsoide. Die Längen der Halbachsen entsprechen den Beträgen der Eigenwerte. 17c zeigt die Darstellung des Datensatzes im Invariantenraum in grün mit Interaktionsflächen links und rechts davon. Das DVR des Objekts ist in Abb. 17b zu sehen.

In Abb. 18 wurden verschiedene Invariantenbereiche ausgewählt. Verwendet wurde der K-Invariantensatz. Bei 18a und 18b sind die Bereiche mit niedriger ersten Invariante ausgeblendet, in 18c und 18d die Bereiche mit niedriger zweiter Invariante und in 18e und 18f sind nur noch Bereiche mit sehr hoher dritter Invariante zu sehen.

Aus diesen Darstellungen lässt sich ein starker Zusammenhang zwischen der ersten (Spur) und zweiten (Norm des Deviators) Invariante im Datensatz herleiten. Das Ausblenden niedriger Bereiche für die erste und zweite Invariante führt zu sehr ähnlichen Effekten im DVR des Objekts.

Aus der Darstellung von Bereichen mit hohem Modus (18e und 18f) lässt sich ableiten, dass die einwirkende Kraft Tensoren mit einem einzelnen Eigenwert mit hohem Betrag erzeugt, die sich in einem kegelförmigen Bereich ausgehend vom Auftrittspunkt der Kraft befinden.

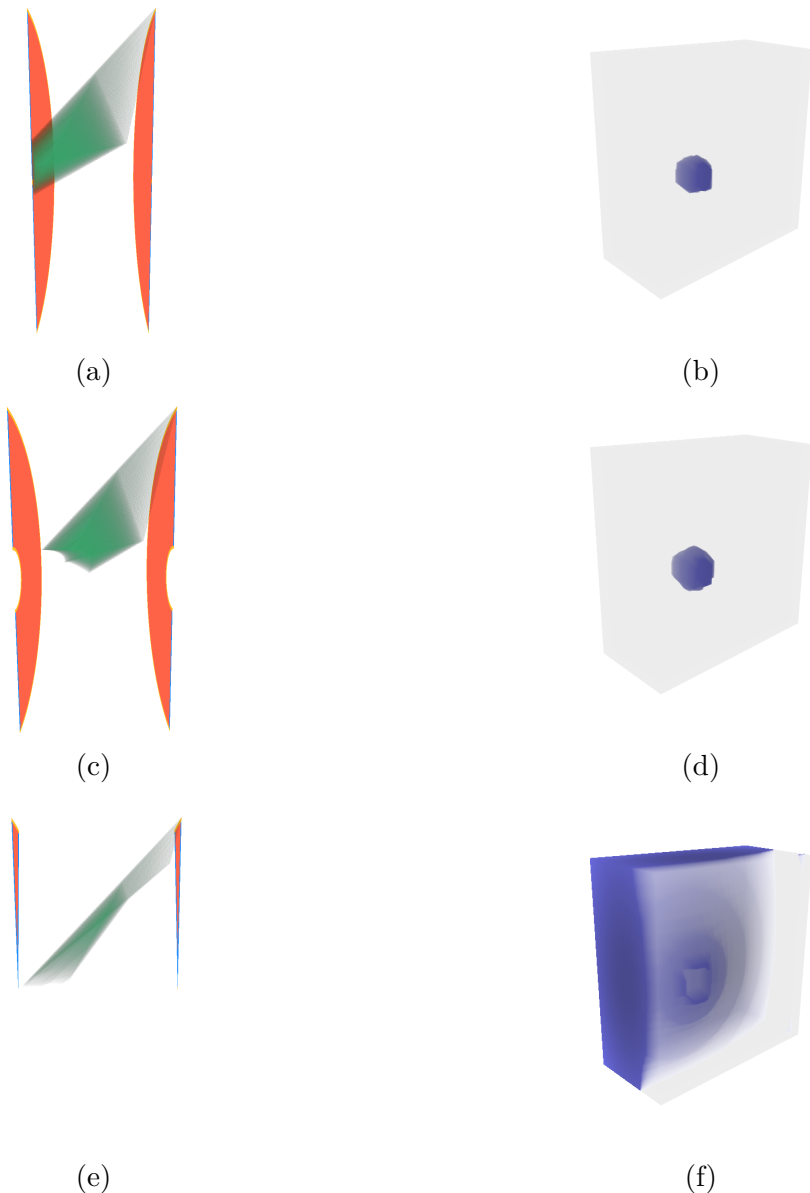


Abb. 18: Die mechanische Spannung des Single Point Load-Datensatzes mit ausgewählten Invariantenbereichen. (a) und (b) zeigen Bereiche mit hohem  $K_1$  (Spur), (c) und (d) Bereiche mit hohem  $K_2$  (Deviatormodul), (e) und (f) Bereiche mit hohem  $K_3$  (Modus).

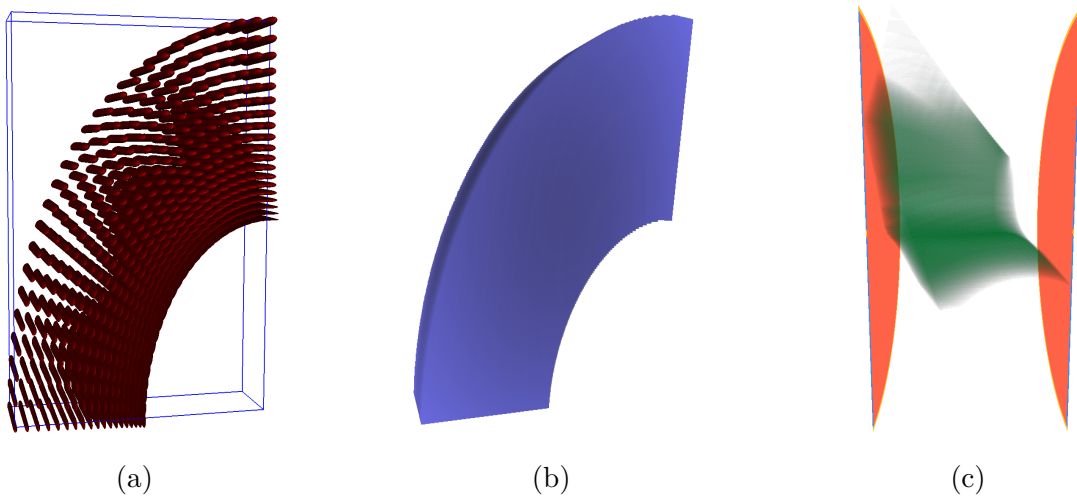


Abb. 19: Darstellung des Metallscheiben-Datensatzes: (a) als Ellipsoide, (b) als DVR des Objekts und (c) im Invariantenraum, berechnet mit den K-Invarianten.

## 6.2 Metallscheibe

Als zweites Beispiel wurde das Ergebnis einer thermo-mechanischen Simulation, durchgeführt von Dr. Thomas Nagel, verwendet, die auch in der Arbeit von Friztsch benutzt wurde [12, S.15, 45 ff.]. Friztsch beschreibt den Datensatz wie folgt:

“Die Metallscheibe liegt flach auf und ist entlang ihres äußenen Rands fixiert. Zwecks Umformung wirkt von oben ein hoher Druck ein. Zusätzlich wird sie von unten erwärmt und von oben gekühlt.”[12, S. 15]

Die ‘obere’ und ‘untere’ Seite der Metallscheibe sind dabei die flachen Seiten, deren Normalen parallel zur Z-Achse sind. Die Z-Achse selbst zeigt nach unten.

Da die Metallscheibe spiegelsymmetrisch zur X- und Y-Achse ist, genügt es, ein Viertel der Scheibe zu simulieren. Als Ergebnisse der Simulation wurden zwei Datensätze erzeugt, die jeweils die mechanische Spannung und die Verformung an den Punkten der Metallscheibe enthalten. Für beide Datensätze wurden getrennt voneinander Visualisierungen mit dem K-Invariantensatz erzeugt, die im Folgenden vorgestellt werden.

### 6.2.1 Spannung

Abb. 19a zeigt die Spannungstensoren der Metallscheibe in Form von Ellipsoiden. Pro Punkt wird ein Ellipsoid gezeichnet, die sich aber überschneiden können, was die Interpretation erschwert. Erkennbar ist jedoch, dass die Ellipsoide am äußeren Rand der Scheibe eher länglich und die am inneren Rand eher scheibenförmig sind. Das bedeutet, dass die Tensoren am äusseren Rand einen einzelnen Eigenwert mit hohem und zwei Eigenwerten mit kleinem Betrag besitzen, wogegen am inneren Rand zwei Eigenwerte hohe und nur

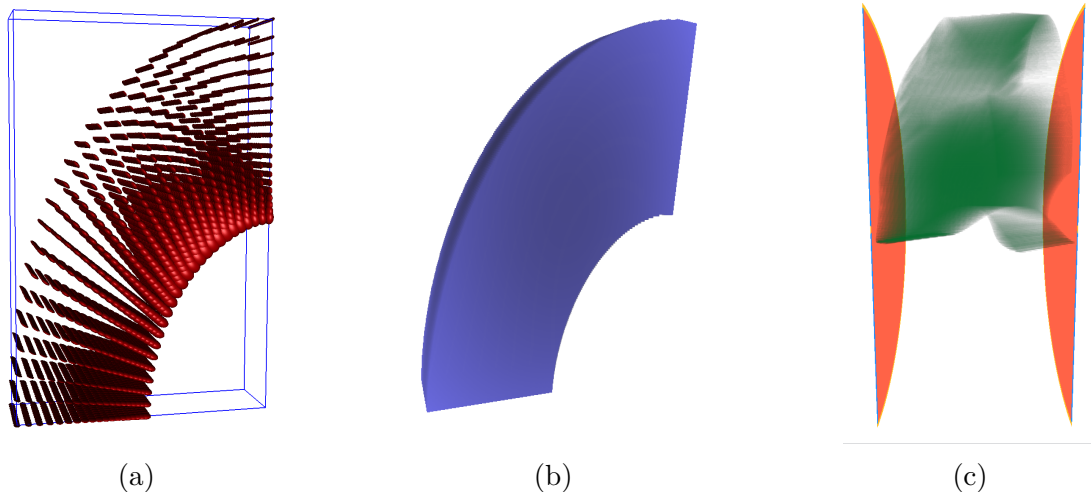


Abb. 20: Darstellung des Metallscheiben-Datensatzes: (a) als Ellipsoide, (b) als DVR des Objekts und (c) im Invariantenraum, berechnet mit den K-Invarianten.

einer kleinen Betrag hat. In beiden Bereichen ist hohe Anisotropie zu erwarten. Gleichzeitig nimmt die Größe der Ellipsoiden im Bild von unten links nach oben rechts zu. Dies ist darauf zurückzuführen, dass nach oben rechts hin negative Eigenwerte mit immer größerem Betrag vorkommen.

Die Darstellungen der Invariantenbereiche (Abb. 21) lassen weitere Interpretationen zu. In Abb. 21b ist zu sehen, dass die Spur im oberen rechten Teil des Scheibenausschnitts am kleinsten ist, da die negativen Eigenwerte dort den größten Betrag haben. Abb. 21d zeigt, dass die Norm des Deviators am inneren und äußeren Rand der Scheibe groß und im Bereich dazwischen eher klein ist, was auf hohe Anisotropie hinweist. Der Modus ist am inneren Rand der Scheibe groß und am inneren klein (Abb. 21c). Das bedeutet, dass die Anisotropie am inneren Rand eher planar und am äußeren Rand eher linear ist.

### 6.2.2 Verformung

Die Verformungstensoren der Metallscheibensimulation sind in Abb. 20a dargestellt. Erkennbar ist, dass die Ellipsoide am inneren Rand erheblich größer sind als alle anderen. Die Eigenwerte dieser Tensoren haben tatsächlich einen relativ hohen Betrag, sind jedoch teilweise negativ, was dazu führt, dass auch die Spur dort niedrig oder sogar negativ ist. Dies fällt auch in Abb. 22a auf, wo Bereiche niedriger Spur ausgeblendet werden. Die Spur ist, ähnlich wie beim Spannungsdatensatz, unten links größer als oben rechts.  $K_2$ , und somit auch die Anisotropie, ist in einem halbkreisförmigen Bereich an der Innenseite der Scheibe am größten (siehe Abb. 22c). Im gleichen Bereich ist auch  $K_3$  hoch (siehe Abb. 22e). Das Material wird also am inneren Rand der Scheibe in die Richtung zweier Eigenvektoren zusammengepresst und dehnt sich in entlang des dritten aus. Aus der Ellipsoidendarstellung wird auch die Richtung dieses Eigenvektors ersichtlich, nämlich

zum Mittelpunkt der Scheibe hin. Die Scheibe dehnt sich also in diesem Bereich zur Mitte hin aus.

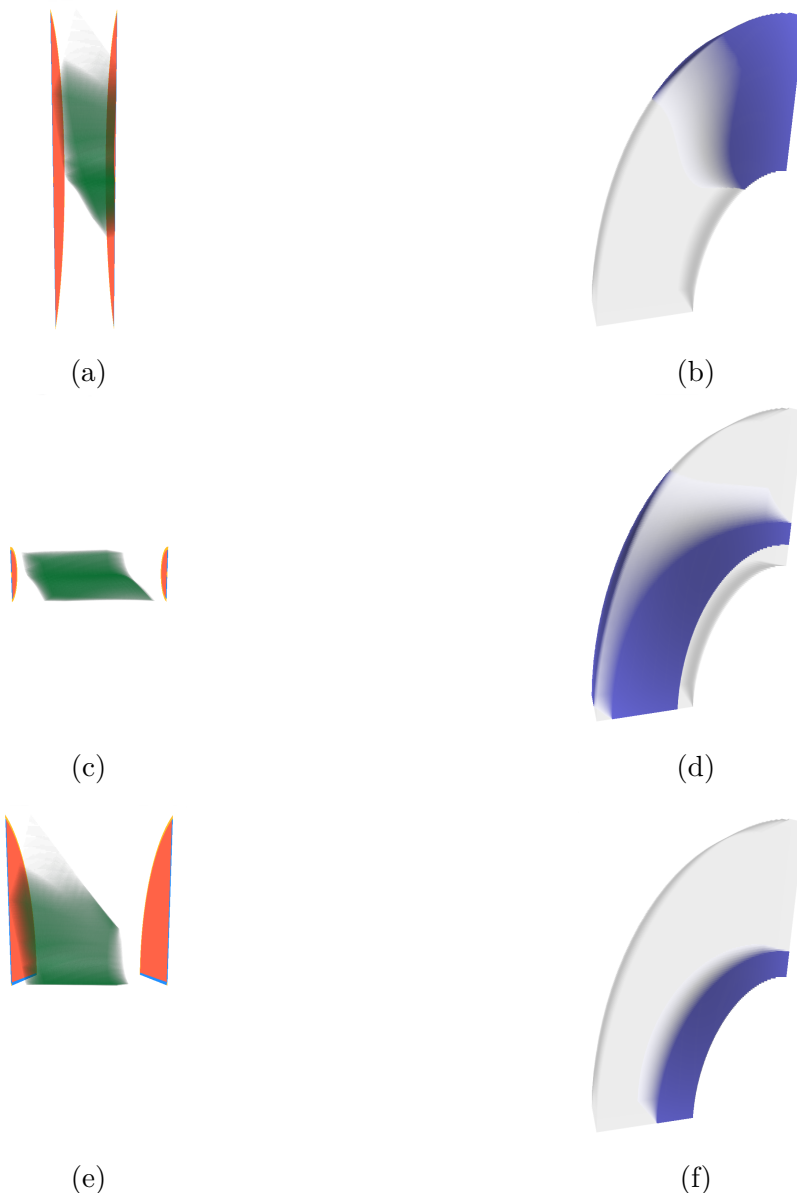


Abb. 21: Die mechanische Spannung des Metallscheiben-Datensatzes mit ausgewählten Invariantenbereichen. (a) und (b) zeigen Bereiche mit niedrigem  $K_1$  (Spur), (c) und (d) Bereiche mit niedrigem  $K_2$  (Deviatornorm), (e) und (f) Bereiche mit hohem  $K_3$  (Modus).

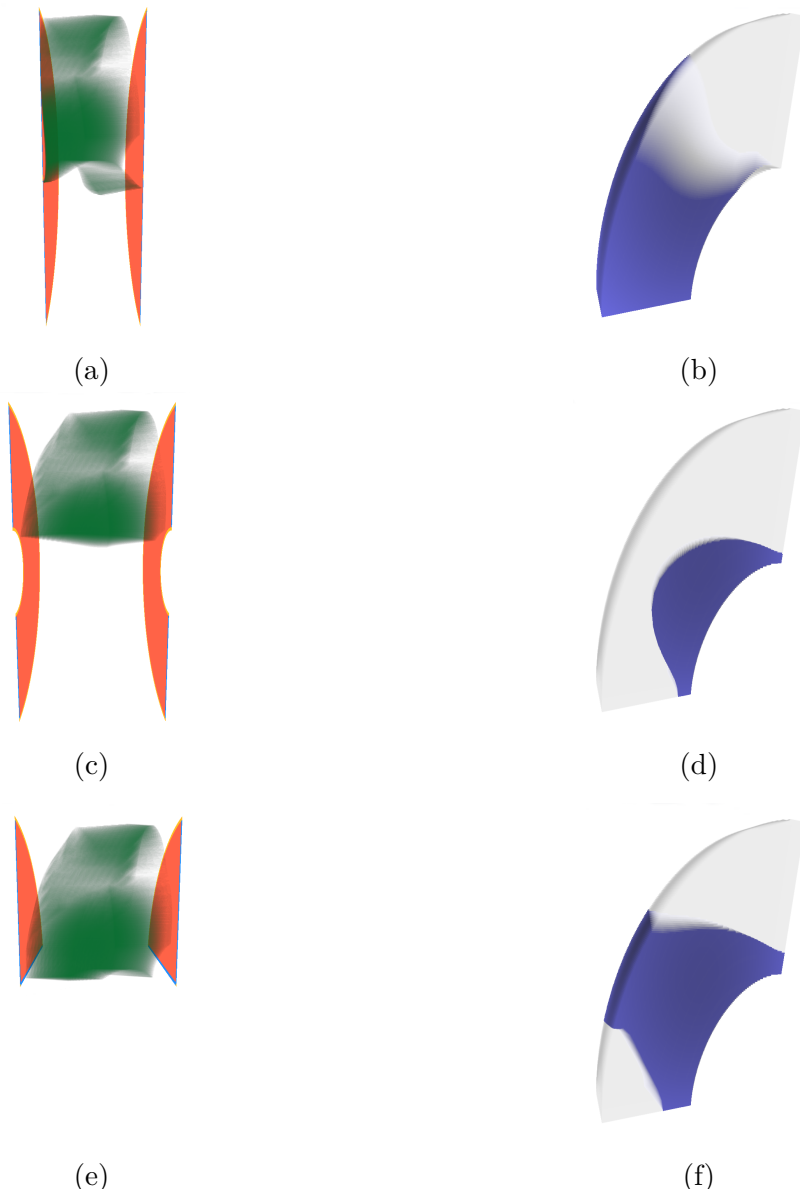


Abb. 22: Die Verformung des Metallscheiben-Datensatzes mit ausgewählten Invariantenbereichen. (a) und (b) zeigen Bereiche mit hohem  $K_1$  (Spur), (c) und (d) Bereiche mit niedrigem  $K_2$  (Deviatornorm), (e) und (f) Bereiche mit hohem  $K_3$  (Modus).

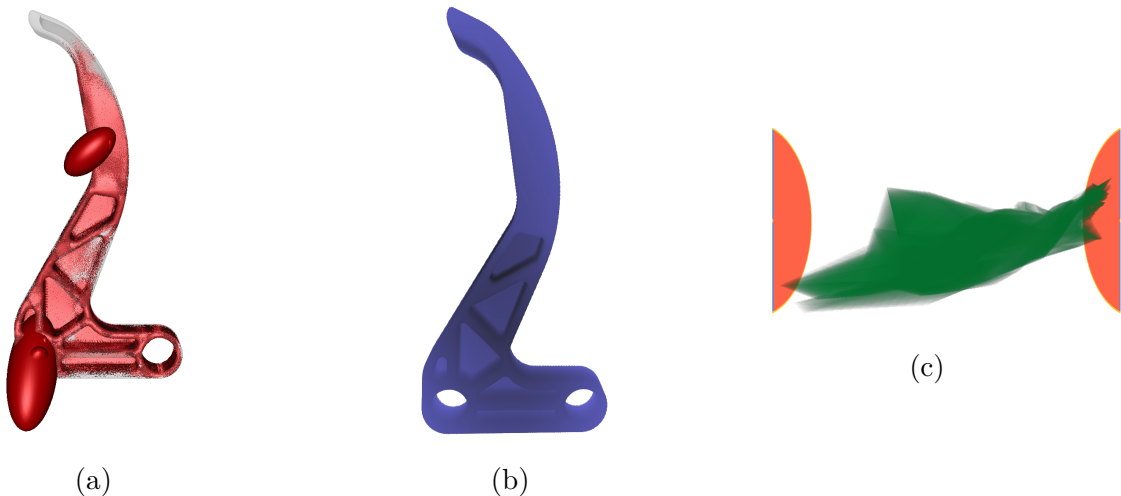


Abb. 23: Darstellung des Bremshebel-Datensatzes: (a) als Ellipsoide, (b) als DVR des Objekts und (c) im Invariantenraum, berechnet mit den K-Invarianten.

### 6.3 Bremshebel

Die bisherigen Datensätze behandelten ausschließlich einfache geometrische Objekte, auf die Kraft einwirkte. Der Bremshebel-Datensatz wurde ausgewählt, um die Ergebnisse der Visualisierung auch auf einem komplexeren Objekt zeigen zu können.

Beim Bremshebel-Datensatz handelt es sich wie zuvor um Simulationsdaten. Dabei wurden die mechanischen Spannungen des Hebels einer Fahrradbremse simuliert, wenn auf den Hebelarm eine Kraft einwirkt. Der Hebel ist dabei eingespannt, um Bewegung zu verhindern. Die einwirkende Kraft sowie die Stelle, an der der Hebel eingespannt ist, sind gut in Abb. 23a zu erkennen. Die scheinbare Rotfärbung des Hebels stammt dabei aus der großen Menge kleiner Ellipsoide, die an den Punkten des Hebels gemessen wurden.

Die Simulation wurde mit Abaqus [Standardversion 6.13-4][22] erzeugt.

Die Ellipsoid-Darstellung zeigt, dass an zwei Stellen des Objekts besonders große Spannungen wirken: Am Hebelarm, an dem die Kraft einwirkt und unten links, wo der Hebel fixiert ist. Die große Anzahl und deshalb notwendige geringe Größe der anderen Ellipsoide machen eine Interpretation jedoch praktisch unmöglich.

Um den Zusammenhang zwischen den K- und R-Invariantensätzen zu verdeutlichen, wurde der Bremshebel für beide Varianten einmal visualisiert.

#### 6.3.1 K-Invarianten

Dieses Problem tritt im Rendering des Invariantenraumes nicht auf, da mehr Datenpunkte nur zu exaktere Verläufen der Isoflächen führen. In Abb. 26a und 26b ist erkennbar, dass die Spannungstensoren am Auftrittspunkt der Kraft, entlang der linken Seite des Hebels

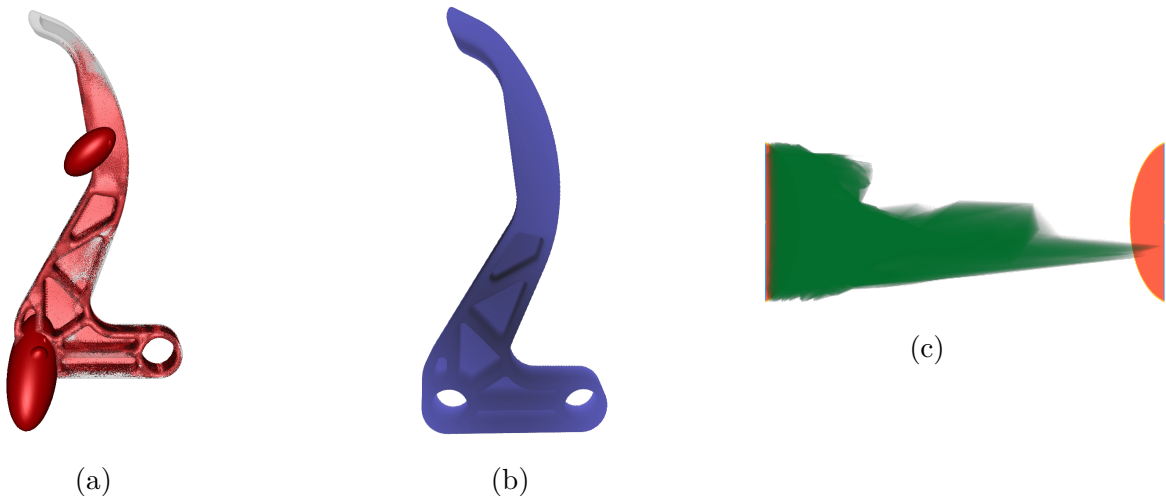


Abb. 24: Darstellung des Bremshebel-Datensatzes: (a) als Ellipsoide, (b) als DVR des Objekts und (c) im Invariantenraum, berechnet mit den R-Invarianten.

und einigen Streben im Inneren des Hebels am größten sind. Der anisotrope Anteil ist am Auftrittspunkt der Kraft, an der Beuge des Hebels und an den Zusammentreffpunkten einiger Streben am stärksten (siehe Abb. 25c und 25d).

Bereiche mit niedrigem Modus, also mit planarer Anisotropie, sind in Abb. 25e ausgewählt. Der am deutlichsten erkennbare Bereich liegt an der Beuge des Hebels, wo das Material zusammengepresst wird. Aber auch am Auftrittspunkt der Kraft ist der Modus gering, da Kraft dort entlang der Oberfläche weitergeleitet wird.

### 6.3.2 R-Invarianten

Trotz der sehr unterschiedlichen Form des Feldes im Invariantenraum (Abb. 24b), ähneln sich die Bereiche, in denen die die erste Invariante hohe Werte annimmt. Da  $R_1$  und  $K_1$  beide Maße für die Isotropie Tensoren sind, ist dieses Verhalten zu erwarten. Die Bereiche für hohe  $R_2$  und  $K_2$ , beide Maße für die Anisotropie, unterscheiden sich jedoch stark,  $R_2$  scheint überall im Inneren des Objekts hoch zu sein, darunter Bereiche, in denen es  $K_2$  eher niedrig ist.

Die Bereiche mit niedrigem Modus (Abb. 26e) sind, da die Ausgangsdaten die gleichen sind, natürlich identisch.

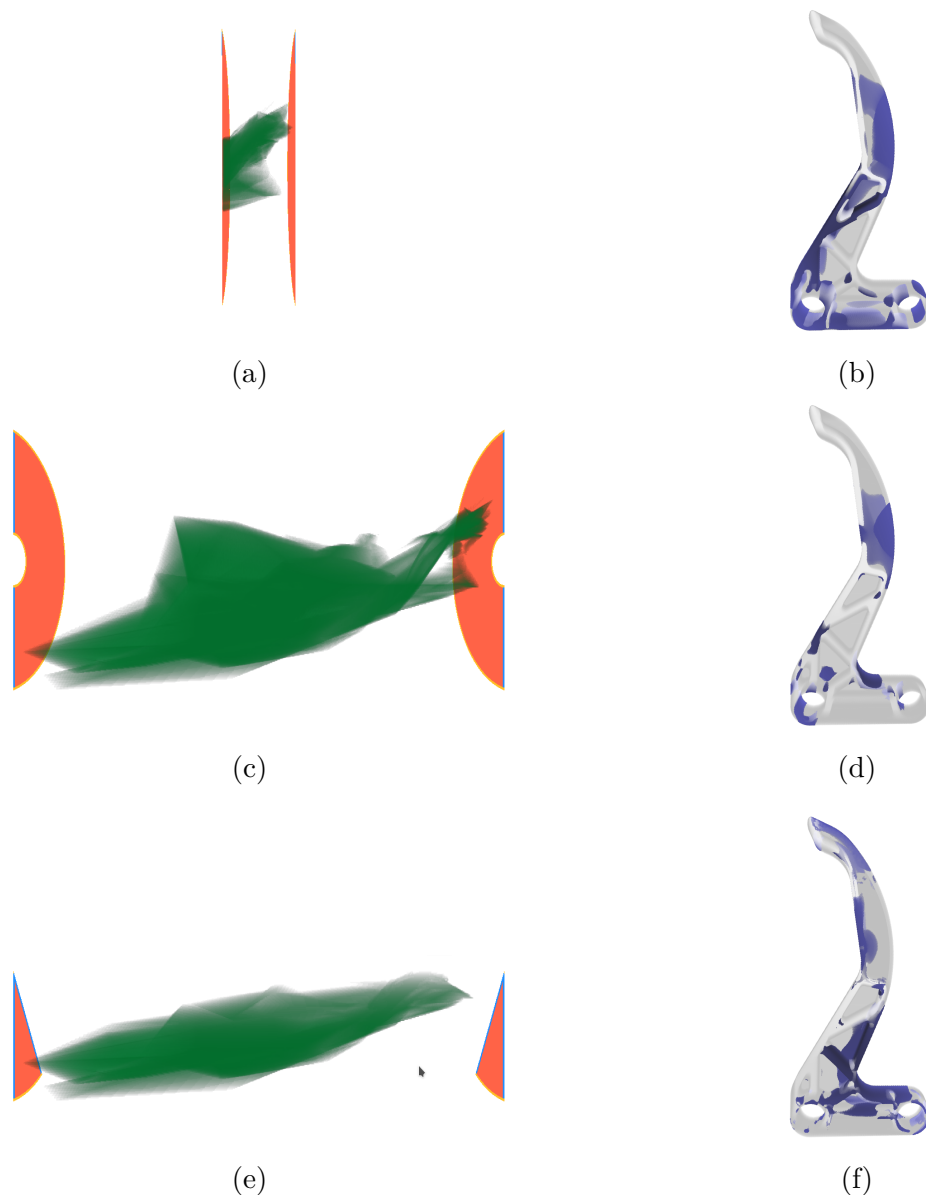


Abb. 25: Die mechanische Spannung des Bremshebel-Datensatzes mit ausgewählten Invariantenbereichen. (a) und (b) zeigen Bereiche mit hohem  $K_1$  (Spur), (c) und (d) Bereiche mit hohem  $K_2$  (Deviatornorm), (e) und (f) Bereiche mit niedrigem  $K_3$  (Modus).

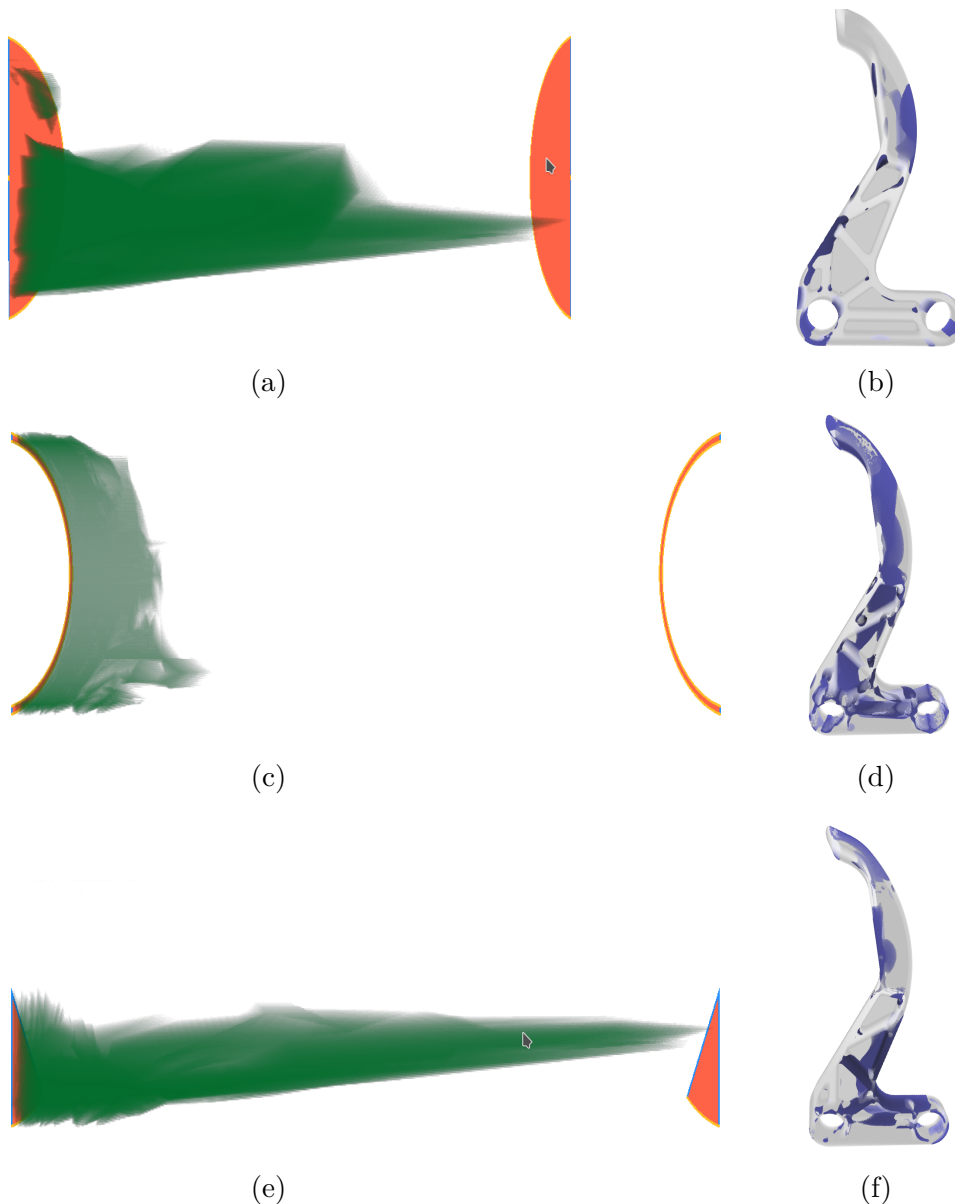


Abb. 26: Die mechanische Spannung des Bremshebel-Datensatzes mit ausgewählten Invariantenbereichen. (a) und (b) zeigen Bereiche mit hohem  $R_1$  (Frobenius Norm), (c) und (d) Bereiche mit hohem  $R_2$  (fraktionale Anisotropie), (e) und (f) Bereiche mit niedrigem  $R_3$  (Modus).

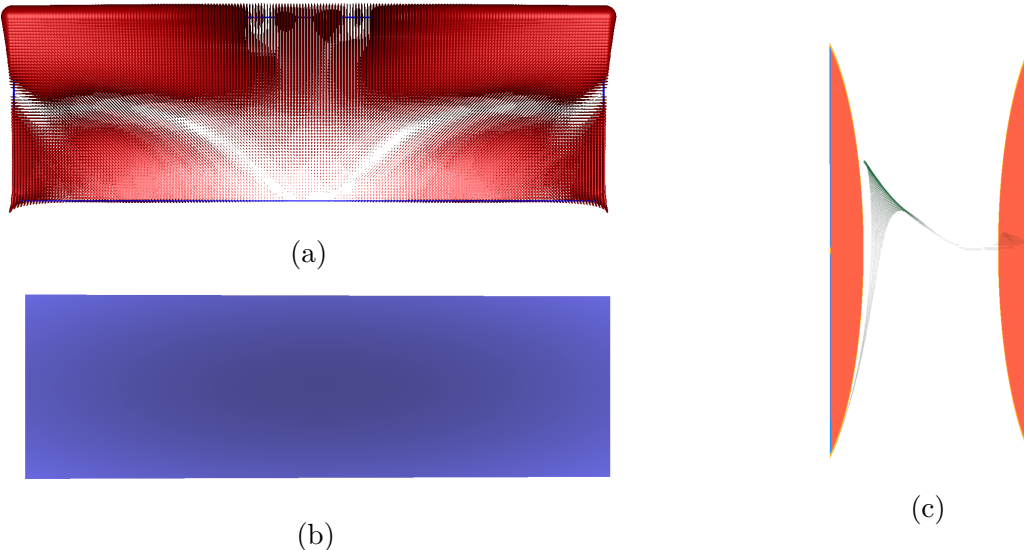


Abb. 27: Darstellung des Metallplatten-Datensatzes: (a) als Ellipsoide, (b) als DVR des Objekts und (c) im Invariantenraum, berechnet mit den I-Invarianten.

## 6.4 Metallplatte

Es ist möglich auch mit den I und J-Invariantensätzen Visualisierungen zu erzeugen, obwohl die Darstellung im zylindrischen Koordinatensystem für diese nur wenig Sinn macht. Um dies zu demonstrieren, wurde ein weiterer Datensatz gewählt.

Der letzte Datensatz bla bla ToDo Felix

Da die Platte dünn ist, ist auch die Darstellung im Invariantenraum dünn, weshalb die einzelnen Teilbereiche schwer zu erkennen sein können.

Die Ellipsoide sind an der oberen Kante der Platte am größten (Abb. 27a), dies ist jedoch wieder auf negative Eigenwerte mit hohem Betrag zurückzuführen. An den ToDo Punkten sind sie eher länglich und werden mit zunehmender Entfernung kugelförmiger.

Auffällig sind ebenfalls die sehr kleinen Ellipsoide entlang zweier Bögen in der Mitte der Platte und große Ellipsoide an den unteren Ecken.

Es wurde jeweils eine Visualisierung für den I und J Satz erzeugt. Da die Interpretation von  $I_2$ ,  $I_3$ ,  $J_2$  und  $J_3$  schwierig ist, beschränken sich die Texte auf die Auswertung von  $I_1$  und die Beschreibung der Bereiche der anderen Invarianten.

### 6.4.1 I-Invarianten

Die Spur ist, wie nach der Auswertung der Ellipsoiddarstellung zu erwarten war, an der oberen Kante der Platte am niedrigsten (siehe Abb. 29a und 29b). Interessant ist dabei,

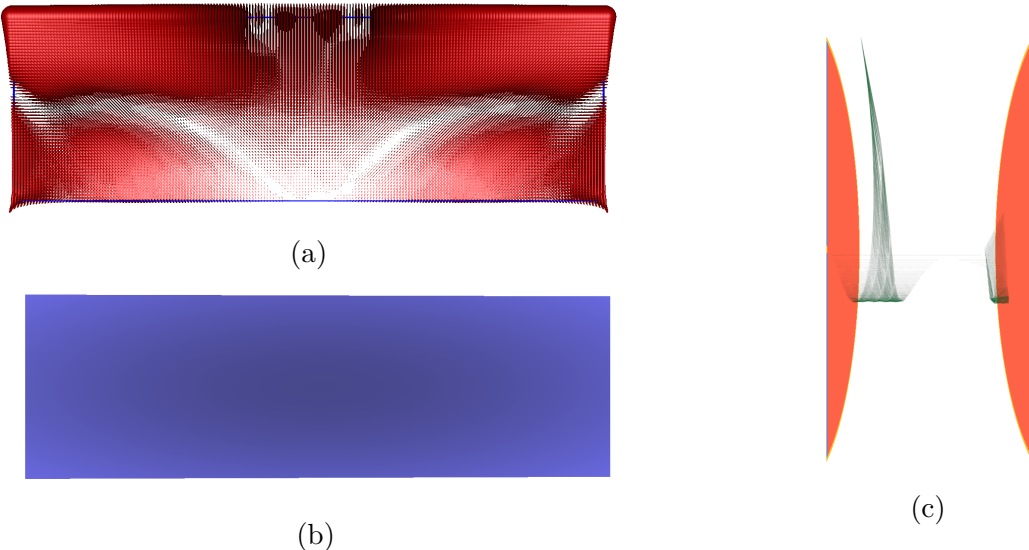


Abb. 28: Darstellung des Bremshebel-Datensatzes: (a) als Ellipsoide, (b) als DVR des Objekts und (c) im Invariantenraum, berechnet mit den J-Invarianten.

dass an den ToDo Punkten der ausgewählte Bereich am dünnsten ist. Im gleichen Bereich treten die höchsten Werte für  $I_2$  auf (Abb. 30c und 30d).

$I_3$  dagegen ist im unteren Bereich und an den ToDo Punkten am höchsten (Abb. 29e und 29f).

#### 6.4.2 J-Invarianten

Da  $J_1$  immer gleich 0 ist, wurde stattdessen  $I_1$  verwendet. Dadurch sind die ersten Invarianten beider Sätze gleich, genauso wie die dargestellten Bereiche (Abb. 30b und 30a).  $J_2$  dagegen ist nahe der ToDo Punkte und an den unteren beiden Ecken am höchsten. Auch  $I_3$  ist bei den ToDo Punkten am höchsten.

## 7 Ausblick

Fehler reduzieren durch Berechnung der Größe des tatsächlich belegten Volumens pro Tetraeder und Voxel -> Supersampling???

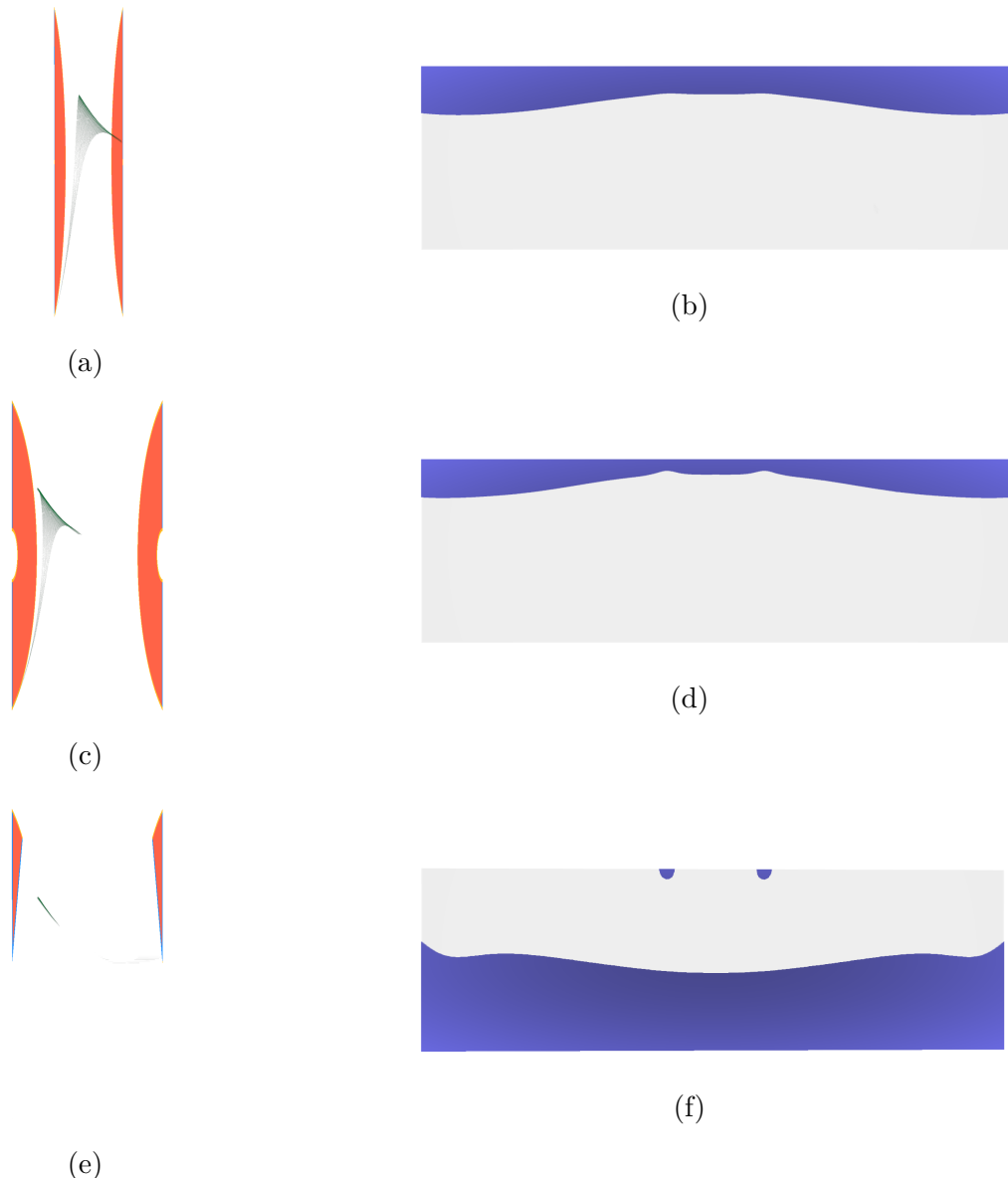


Abb. 29: Die mechanische Spannung des Metallplatten-Datensatzes mit ausgewählten Invariantenbereichen. (a) und (b) zeigen Bereiche mit niedrigem  $I_1$  (Spur), (c) und (d) Bereiche mit hohem  $I_2$  (Summe der Hauptminoren), (e) und (f) Bereiche mit hohem  $I_3$  (Determinante).

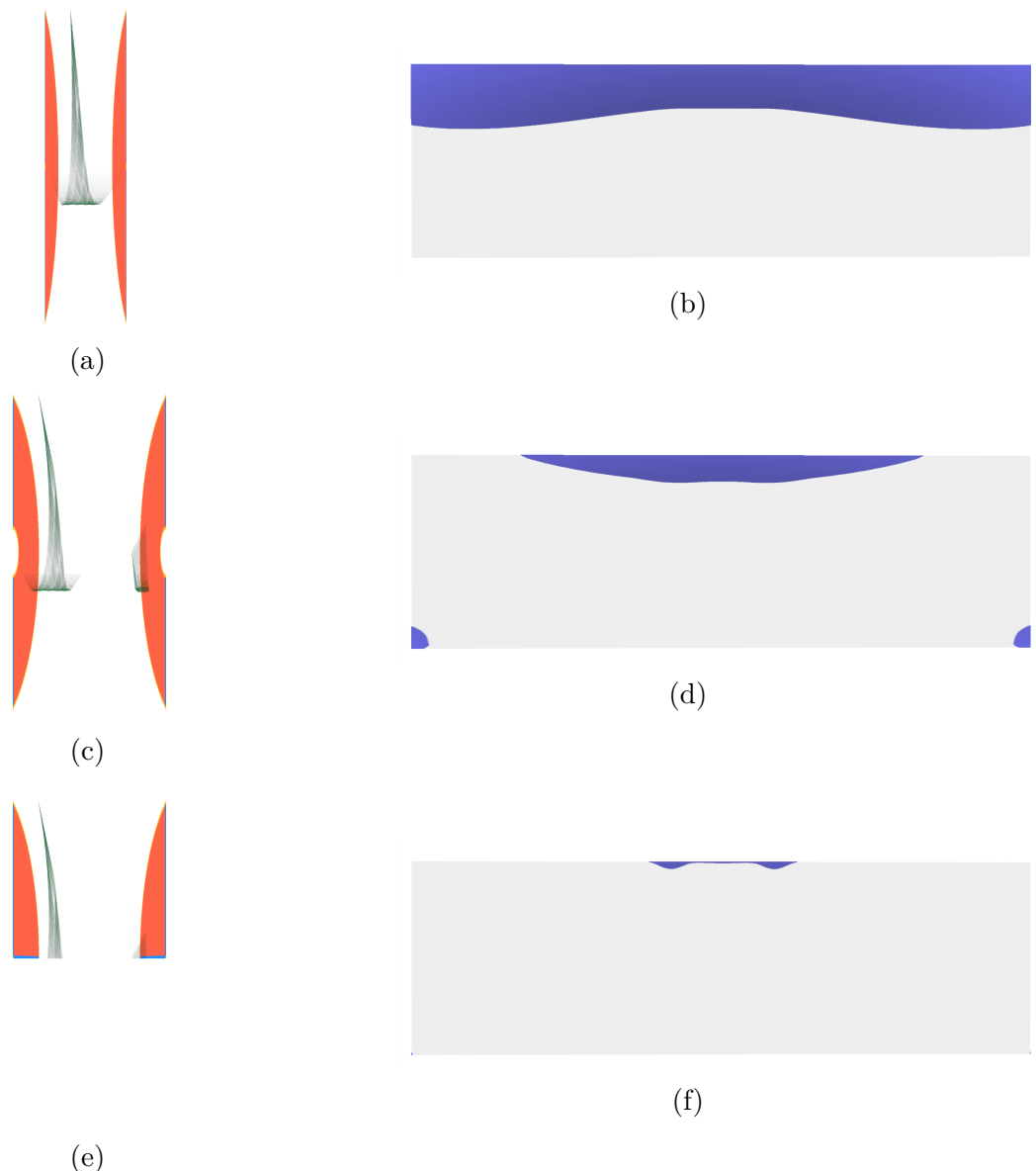


Abb. 30: Die mechanische Spannung des Metallplatten-Datensatzes mit ausgewählten Invariantenbereichen. (a) und (b) zeigen Bereiche mit niedrigem  $I_1$  (Spur), (c) und (d) Bereiche mit hohem  $J_2$  (Summe der Hauptminoren des Deviators), (e) und (f) Bereiche mit hohem  $J_3$  (Determinante des Deviators).

## Abschlussarbeiten

- [12] Clemens Fritzsch. "Visuelle Analyse kontinuumsmechanischer Simulationen durch kontinuierliche Streudiagramme". Diploma Thesis, University of Leipzig. Magisterarb. Leipzig, Germany: Universität Leipzig, 2016.

## Bücher

- [2] Lisa S Avila u. a. *The VTK User's Guide*. Kitware New York, 2010.
- [5] Ray M Bowen und Chao-Cheng Wang. *Introduction to vectors and tensors*. Bd. 1. Courier Corporation, 2008.
- [11] Richard P Feynman, Robert B Leighton und Matthew Sands. *The Feynman lectures on physics, Vol. I: The new millennium edition: mainly mechanics, radiation, and heat*. Bd. 1. Basic books, 2011.
- [13] Keith D. Hjelmstad. *Fundamentals of Structural Mechanics*. 10. Aufl. Springer US Verlag KG, 2005. ISBN: 978-3-13-477010-0.
- [19] Norbert Kusolitsch. *Maß-und Wahrscheinlichkeitstheorie: Eine Einführung*. Springer-Verlag, 2014.
- [20] Bruce R Kusse und Erik A Westwig. *Mathematical physics: applied mathematics for scientists and engineers*. John Wiley & Sons, 2010.

## Artikel

- [3] Sven Bachthaler und Daniel Weiskopf. "Continuous scatterplots". In: *IEEE transactions on visualization and computer graphics* 14.6 (2008), S. 1428–1435.
- [4] Peter J Basser, James Mattiello und Denis LeBihan. "MR diffusion tensor spectroscopy and imaging". In: *Biophysical journal* 66.1 (1994), S. 259–267.
- [7] John C Criscione u. a. "An invariant basis for natural strain which yields orthogonal stress response terms in isotropic hyperelasticity". In: *Journal of the Mechanics and Physics of Solids* 48.12 (2000), S. 2445–2465.
- [8] Thierry Delmarcelle und Lambertus Hesselink. "Visualizing second-order tensor fields with hyperstreamlines". In: *IEEE Computer Graphics and Applications* 13.4 (1993), S. 25–33.
- [9] Robert A Drebin, Loren Carpenter und Pat Hanrahan. "Volume rendering". In: *ACM Siggraph Computer Graphics*. Bd. 22. 4. ACM. 1988, S. 65–74.
- [10] Daniel B Ennis und Gordon Kindlmann. "Orthogonal tensor invariants and the analysis of diffusion tensor magnetic resonance images". In: *Magnetic resonance in medicine* 55.1 (2006), S. 136–146.

- [14] Mario Hlawitschka u. a. "Top Challenges in the Visualization of Engineering Tensor Fields". In: *Visualization and Processing of Tensors and Higher Order Descriptors for Multi-Valued Data*. Springer, 2014, S. 3–15.
- [16] Gordon Kindlmann. "Superquadric tensor glyphs". In: *Proceedings of the Sixth Joint Eurographics-IEEE TCVG conference on Visualization*. Eurographics Association. 2004, S. 147–154.
- [17] Gordon Kindlmann und David Weinstein. "Hue-balls and lit-tensors for direct volume rendering of diffusion tensor fields". In: *Proceedings of the conference on Visualization'99: celebrating ten years*. IEEE Computer Society Press. 1999, S. 183–189.
- [18] Gordon Kindlmann u. a. "Diffusion tensor analysis with invariant gradients and rotation tangents". In: *IEEE Transactions on Medical Imaging* 26.11 (2007), S. 1483–1499.
- [21] Antonio J Rueda u. a. "Voxelization of solids using simplicial coverings". In: (2004).
- [23] Alexander Wiebel u. a. "Fantom-lessons learned from design, implementation, administration, and use of a visualization system for over 10 years". In: (2009).
- [24] Valentin Zobel und Gerik Scheuermann. "Extremal curves and surfaces in symmetric tensor fields". In: *The Visual Computer* (2017), S. 1–16.

## Internetressourcen

- [1] Universität Leipzig Abteilung für Bild- und Signalverarbeitung. *FAnToM Website*. URL: <http://www.informatik.uni-leipzig.de/fantom/content/about-fantom> (besucht am 25.03.2018).
- [6] The Qt Company. *Qt Website*. URL: <https://www.qt.io/> (besucht am 28.03.2018).
- [15] The Khronos<sup>TM</sup> Group Inc. *OpenGL Website*. URL: <https://www.khronos.org/opengl/> (besucht am 28.03.2018).
- [22] Dassault Systèmes. *Abaqus Website*. URL: <https://www.3ds.com/products-services/simulia/products/abaqus/> (besucht am 26.04.2018).